

Centrum voor Brandveiligheid
Lange Kleiweg 5, Rijswijk
Postbus 49
2600 AA Delft

www.tno.nl

T 015 284 20 00
F 015 284 39 55

TNO-rapport

2002-CVB-R06136

Brandwerendheid van Geïntegreerde Liggers

Datum november 2002

Auteur(s) Ir. A. Breunese
Ir. J.H.H. Fellinger

Aantal pagina's 23
Aantal bijlagen 2

Opdrachtgever Bouwen met Staal
 Postbus 29075
 3001 GB ROTTERDAM

Projectnaam Brandwerendheid van geïntegreerde liggers
Projectnummer 006.25142/01.01

Alle rechten voorbehouden.

Niets uit deze uitgave mag worden vermenigvuldigd en/of openbaar gemaakt door middel van druk, foto-kopie, microfilm of op welke andere wijze dan ook, zonder voorafgaande toestemming van TNO.

Indien dit rapport in opdracht werd uitgebracht, wordt voor de rechten en verplichtingen van opdrachtgever en opdrachtnemer verwezen naar de Algemene Voorwaarden voor onderzoeksopdrachten aan TNO, dan wel de betreffende terzake tussen de partijen gesloten overeenkomst.

Het ter inzage geven van het TNO-rapport aan direct belang-hebbenden is toegestaan.

Inhoudsopgave

| | | |
|--|---|-----------|
| 1 | Probleemstelling | 3 |
| 2 | Onderzoek | 4 |
| 3 | Opdrachtgever | 5 |
| 4 | Toepassingsgebied | 6 |
| 4.1 | Profielen | 6 |
| 4.2 | Brandomstandigheden | 6 |
| 4.3 | Statisch schema | 6 |
| 4.4 | Materialen | 6 |
| 5 | Uitgangspunten van de berekening | 7 |
| 5.1 | Geometrie van de doorsnede | 7 |
| 5.2 | Materiaaleigenschappen | 8 |
| 6 | Karakteristieke temperaturen | 10 |
| 7 | Rekenregels | 12 |
| 7.1 | Controle van de draagkracht in dwarsrichting | 12 |
| 7.1.1 | IFB | 13 |
| 7.1.2 | SFB | 13 |
| 7.1.3 | THQ | 14 |
| 7.2 | Doorsnedereductie t.b.v. axiaal moment | 15 |
| 7.2.1 | IFB | 16 |
| 7.2.2 | SFB | 16 |
| 7.2.3 | THQ | 17 |
| 7.3 | Plastisch moment | 17 |
| 7.3.1 | Vereenvoudigde bepaling m.b.v. tabel | 17 |
| 7.3.2 | Doorsnedebeschouwing | 18 |
| 8 | Rekenvoorbeeld | 19 |
| 8.1 | Basisgegevens | 19 |
| 8.2 | Controle draagkracht in dwarsrichting | 19 |
| 8.2.1 | Plaat | 19 |
| 8.2.2 | Onderflens | 20 |
| 8.3 | Axiaal moment | 20 |
| 8.3.1 | Vereenvoudigde methode | 20 |
| 8.3.2 | Handmatige berekening met temperatuurtabellen | 21 |
| 8.3.3 | Alternatieve constructie | 22 |
| 9 | Referenties | 23 |
| Bijlage(n) | | |
| A Tabellen met karakteristieke temperaturen | | 1 |
| B Tabellen met plastische weerstandsmomenten | | 1 |

1 Probleemstelling

De laatste jaren worden geïntegreerde stalen liggers steeds meer toegepast, met name in de verdiepingsbouw. De liggers worden in de vloer geïntegreerd zodat een bijna vlakke vloerplaat ontstaat. De voordelen van dit vloersysteem ten opzichte van traditionele vloersystemen met de liggers onder de betonvloer zijn

- een dun vloerpakket waardoor op de kosten van de gevel kan worden bespaard;
- een eenvoudige plaatsing van leidingen onder het vloerpakket;
- verhoogde brandwerendheid door de thermische bescherming die de betonnen vloer aan de ligger biedt. Tevens is het isoleren van de ligger (bij hogere brandwerendheden) goedkoper, doordat alleen de onderplaat bekleed hoeft te worden;
- lage kosten voor de duurzame bescherming van het staal. Dit aspect is minder relevant doordat dit vloersysteem normaliter in een binnensituatie wordt toegepast.

Echter de Nederlandse regelgeving voorziet niet in goede rekenregels om de brandwerendheid van geïntegreerde liggers te bepalen. Door de thermische bescherming die de vloer aan de ligger geeft, ontstaat een sterke niet-uniforme temperatuursverdeling in de ligger, terwijl NEN 6072, de Nederlandse norm voor de bepaling van de brandwerendheid van stalen bouwdelen, uitgaat van uniforme temperatuursverdeling in het staal.

Voor een alternatieve bepaling van de brandwerendheid van geïntegreerde liggers heeft de constructeur slechts de beschikking over een beperkt arsenaal van eenvoudige rekenregels. Zo zijn in de uitgave "Verdiepingbouw in staal en beton" matig gedocumenteerde rekenregels gegeven voor de bepaling van de temperatuurontwikkeling in verschillende typen doorsneden. Met behulp van de met deze rekenregels gevonden temperatuurverdeling kan in een plastische doorsnede berekening de draagkracht bij brand worden gecontroleerd. Ook in de ECCS model code zijn (bewerkelijke) rekenregels voor SFB-liggers opgenomen.

Doel van het onderzoek is het opstellen van eenvoudige rekenregels voor de bepaling van de brandwerendheid van geïntegreerde liggers van de typen THQ, SFB en IFB.

Deze rekenregels zullen worden ondersteund met eindige elementen simulaties in DIANA, waarin het temperatuurverloop in de doorsneden afhankelijk van de tijd gesimuleerd wordt, uitgaande van standaard brandomstandigheden. Deze simulaties leiden tot tabellen met karakteristieke temperaturen, die gebruikt zullen worden in de berekening van het buigend moment. Bovendien worden de karakteristieke temperaturen gegeven om de draagkracht te toetsen in de dwarsrichting: de afdracht van de oplegreactie van de vloer naar het liggerlijf via de onderflens van de ligger.

2 Onderzoek

Doel van het onderzoek is het opstellen van eenvoudige rekenregels voor de bepaling van de brandwerendheid van geïntegreerde liggers van de typen THQ, SFB en IFB.

Deze rekenregels zullen worden ondersteund met eindige elementen simulaties in DIANA, waarin het temperatuurverloop in de doorsneden afhankelijk van de tijd gesimuleerd wordt, uitgaande van standaard brandomstandigheden. Deze simulaties leiden tot tabellen met karakteristieke temperaturen, die gebruikt zullen worden in de berekening van het buigend moment. Bovendien worden de karakteristieke temperaturen gegeven om de draagkracht te toetsen in de dwarsrichting: de afdracht van de oplegreactie van de vloer naar het liggerlijf via de onderflens van de ligger.

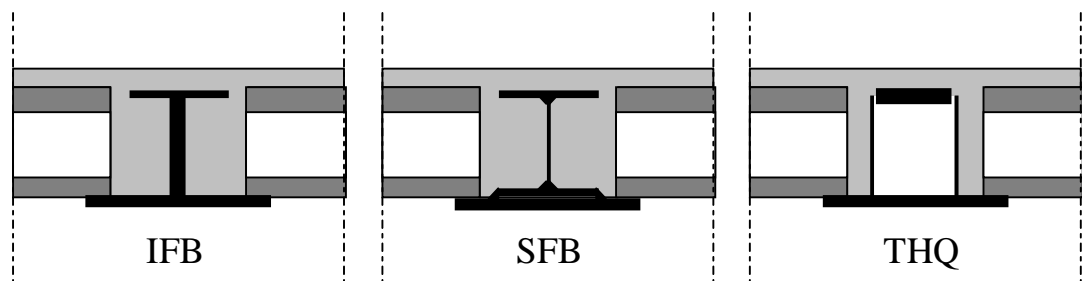
3 Opdrachtgever

Bouwen met Staal
Dr.ir. A.F. (Ralph) Hamerlinck
Groothandelsgebouw A-4.194
Stationsplein 45
Postbus 29075
3001 GB ROTTERDAM

4 Toepassingsgebied

4.1 Profielen

Het project is beperkt tot de in Nederland meest gangbare typen, te weten IFB, SFB en THQ. Zie figuur 4.1. Van deze liggertypen zullen alle gebruikelijke afmetingen, zoals opgenomen in de database van het programma ‘brawesta’ worden gesimuleerd. GL-liggers zijn qua brandwerendheid slechts een kleine modificatie van THQ-liggers en kunnen op analoge wijze berekend worden. In dit rapport zijn echter geen tabellen met karakteristieke temperaturen voor GL-liggers opgenomen.



Figuur 4.1 Doorsnedeschetsen van liggertypen die in het onderzoek zullen worden beschouwd.

4.2 Brandomstandigheden

De temperaturen in de tabellen, opgenomen als bijlage, zijn bepaald voor de 30, 60, 90 en 120 minuten blootstelling aan de standaardbrandkromme.

4.3 Statisch schema

De rekenregels zijn geldig voor statisch bepaalde liggers. Getoetst wordt het buigend moment in het veld en de krachtsafdracht in de dwarsrichting. Steunpuntsmomenten worden niet getoetst, in verband met gebrek aan kennis omtrent plooij bij het steunpunt in combinatie met verhoogde temperaturen. De verwachting is dat bij hogere temperaturen de gevoeligheid voor plooij toeneemt. Daar staat tegenover dat bij het steunpunt de temperaturen in de ligger vaak lager zijn dan in het veld. Aanwijzingen met betrekking tot het omgaan met plooij bij hoge temperaturen zijn te vinden in de NEN en prEN.

Dwarskracht wordt niet getoetst omdat dit normaliter niet maatgevend is.

4.4 Materialen

De berekeningen van de temperaturen zijn gebaseerd op veilige waarden van de thermische eigenschappen van normaal beton, zie hoofdstuk 5. Voor liggers die zijn omstort met beton met lichte toeslag, zijn de resultaten niet geldig.

5 Uitgangspunten van de berekening

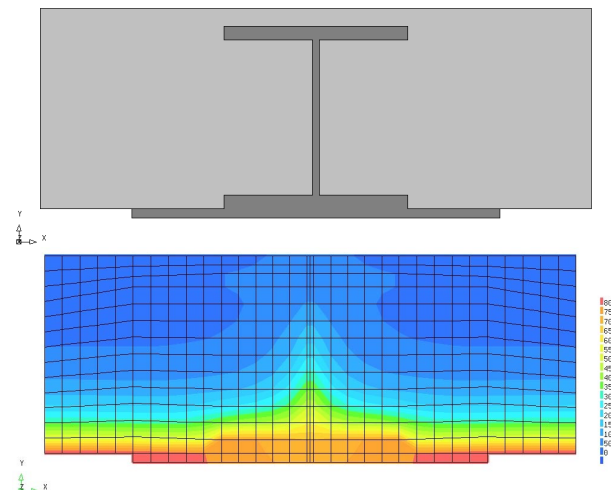
5.1 Geometrie van de doorsnede

De *oplegging van de vloerplaat* op de staalplaat zal zonder tussenlaag zijn. In de praktijk kan hier een oplegvilt aanwezig zijn, maar dit wordt dichtgedrukt door het gewicht van de vloerplaat. Mocht er een opening blijven tussen vloerplaat en staalplaat dan is de verwachting dat dit de warmte-indringing vertraagt. Daardoor is het een veilige aannname om er vanuit te gaan dat de vloerplaat direct op de staalplaat rust.

Bij de SFB-ligger wordt er vanuit gegaan dat er *geen opening is tussen de onderflens en de staalplaat*. In werkelijkheid zal vaak een warmteweerstand tussen de staalplaat en de onderflens aanwezig zijn. Onderzoek [Fellinger: 1994] heeft aangetoond dat het verwaarlozen van deze warmteweerstand een veilige aanname is.

Aangenomen wordt, dat de *gehele ligger in beton wordt ingestort*, aangezien dit noodzakelijk is voor de structurele integriteit. Tevens wordt de berekening in zoverre vereenvoudigd, dat het gebied ter plaatse van de vloerplaat wordt gesimuleerd als massief beton. Indien de ligger een niet massieve vloer draagt zoals bijvoorbeeld een kanaalplaat zal de temperatuurverdeling over de ligger anders zijn. De verwachting is echter dat dit verschil zeer gering zal zijn.

Het *uitstekende plaatdeel zal doorbuigen*, waardoor de oplegreactie van de vloer verschuift naar het einde van de vloerplaat waardoor schade kan optreden aan de betonnen vloerplaat. Deze doorbuiging dient in dat geval dus beperkt te worden. Dit kan bereikt worden door ophangwapening toe te passen of door de ligger te isoleren. Maatregelen om bezwijken van de vloer te voorkomen zijn beschreven in CUR-BmS rapport 2001-2 [Brekelmans: 2001].



Figuur 5.1: Geometrie van de doorsnede (voorbeeld SFB type HE200B400X10) en elementennet met temperatuurcontouren na 60 minuten.

5.2 Materiaaleigenschappen

Staal

- Thermische geleiding (*prEN 1993-1-2; NEN 6072 geeft geen waarden*)
 $\lambda = 54 - 0.0333 \cdot T$ $(T < 800 \text{ }^{\circ}\text{C})$
 $\lambda = 27.3$ $(T \geq 800 \text{ }^{\circ}\text{C})$
- Specifieke warmte (*NEN 6072 = prEN 1993-1-2*)
 $c_a = 425 + 7.73 \cdot 10^{-1} \cdot T_a - 1.69 \cdot 10^{-3} \cdot T_a^2 + 2.22 \cdot 10^{-6} \cdot T_a^3$ $(20 \text{ }^{\circ}\text{C} \leq T_a \leq 600 \text{ }^{\circ}\text{C})$
 $c_a = 666 - 13003 / (T_a - 738)$ $(600 \text{ }^{\circ}\text{C} \leq T_a \leq 735 \text{ }^{\circ}\text{C})$
 $c_a = 545 - 17822 / (T_a - 731)$ $(735 \text{ }^{\circ}\text{C} \leq T_a \leq 900 \text{ }^{\circ}\text{C})$
 $c_a = 650$ $(900 \text{ }^{\circ}\text{C} \leq T_a \leq 1200 \text{ }^{\circ}\text{C})$
- Dichtheid (*NEN 6072*)
 $\rho = 7850 \text{ kg/m}^3$
- Emissiecoëfficiënt (*prEN 1993-1-2 & prEN 1994-1-2*)
 $\varepsilon = 0.7$

Beton

- Thermische geleiding (*ENV 1992-1-2 waarden voor grindbeton*)
 $\lambda = 2 - 0.24 \cdot (T_a/120) + 0.012 \cdot (T_a/120)^2$ $(20 \text{ }^{\circ}\text{C} \leq T_a \leq 1200 \text{ }^{\circ}\text{C})$
- Soortelijke warmte (*ENV 1992-1-2 waarden voor grindbeton*)
 $c_c = 900 + 80 \cdot (T_a/120) - 4 \cdot (T_a/120)^2$ $(20 \text{ }^{\circ}\text{C} \leq T_a \leq 1200 \text{ }^{\circ}\text{C})$
- Dichtheid (*ENV 1992-1-2 voor grindbeton*)
 $\rho = 2300 \text{ kg/m}^3$
- Vochtgehalte (*NEN 6072*)
 $7 \% \text{ (V/V)} = 3 \% \text{ (m/m)}$
- Emissiecoëfficiënt (*prEN 1992-1-2*)
 $\varepsilon = 0.56$

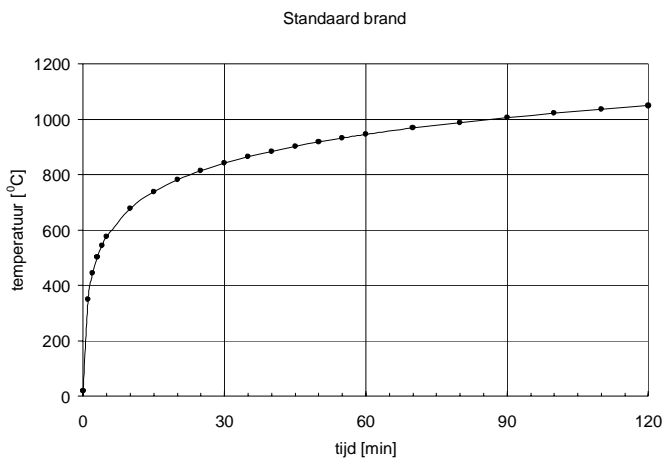
Voor de thermische geleiding en soortelijke warmte wordt gebruik gemaakt van de ENV, omdat deze bewezen heeft een betrouwbare voorspelling voor de warmte-indringing te geven voor Nederlandse betonsoorten [Both: 1998].

Overgangsweerstand van het oppervlak

- Convectie aan verhitte zijde: $25 \text{ W/m}^2\text{K}$ (*prEN 1991-1-2, NEN 6071, NEN 6072*)
- Convectie aan onverhitte zijde: $8 \text{ W/m}^2\text{K}$ (*prEN 1991-1-2, NEN 6071, NEN 6072*)
- Emissiecoëfficiënt van de brand: 1.0 (*prEN 1991-1-2*)

Omgeving

- Temperatuurverloop: standaardbrand

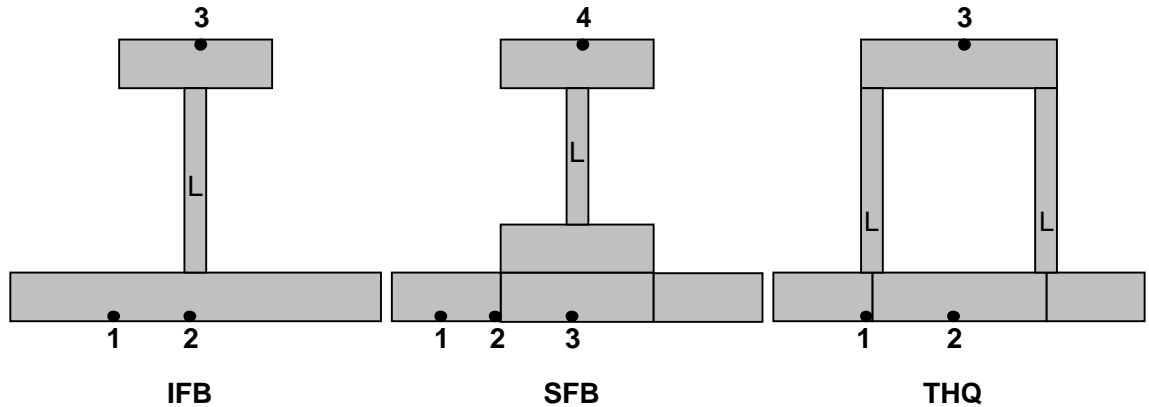


Figuur 5.2: Temperatuurverloop standaardbrand

6 Karakteristieke temperaturen

Als invoer voor de rekenregels dienen karakteristieke temperaturen die verkregen zijn uit de eindige elementen simulaties. Deze temperaturen zijn gerelateerd aan bepaalde maatgevende punten in de doorsnede.

De ligging van deze punten in de doorsneden is als volgt:



Figuur 6.1: Nummering van karakteristieke punten

Deze punten worden in de rekenregels als volgt gebruikt (zie ook de uitleg in hoofdstuk 8):

| | | IFB | SFB | THQ |
|-------|---|-----|-----|-----|
| UP | Controle dwarsbuiging plaat | 2 | 2 | 1 |
| (N)UP | Doorsnede reductie t.b.v. axiaal moment | 2 | 2 | 1 |
| UP | Bijdrage aan axiaal moment | 1 | 1 | 1 |
| NUP | Bijdrage aan axiaal moment | - | 3 | 2 |
| OF | Controle dwarsbuiging onderflens (temperatuur lineair interpoleren) | - | 3-4 | - |
| OF | Doorsnedereductie t.b.v. axiaal moment onderflens (temperatuur lineair interpoleren) | - | 3-4 | - |
| L | Lijf (temperatuur lineair interpoleren) | 2-3 | 3-4 | 2-3 |
| BF | Bovenflens | 3 | 4 | 3 |

Tabel 6.1: Gebruik van karakteristieke temperaturen

De resultaten van de simulaties zijn in tabelvorm weergegeven als bijlage.

In het boek "Verdiepingbouw in staal en beton" [Van Eldik: 1995] worden voor IFB-liggers matig gedocumenteerde rekenregels gegeven voor de bepaling van de temperatuur in de onderflens als functie van de flensdikte op de tijdstippen 30, 60, 90 en 120 minuten. Een vergelijking van deze rekenregels met de berekende temperaturen voor IFB-liggers leert dat deze beide methoden onderling weinig verschillen. Vergelijken worden de gemiddelde temperatuur in de onderflens volgens de rekenregel met de berekende temperatuur in punt 1 in de simulatie. Voor $t=30$ minuten resulteert de simulatie in een gemiddeld 42 graden hogere temperatuur. Voor $t \geq 60$ minuten is dit verschil nooit groter dan 38 graden, en gemiddeld slechts 17 graden (dit komt overeen met een temperatuur die gemiddeld 2.0% hoger is). De verschillen kunnen verklaard worden door kleine verschillen in de aangenomen materiaaleigenschappen.

De voorspelling voor T_2 uit de simulatie is gemiddeld over alle profielen 0.9% hoger (30 minuten) tot 1.5% lager (120 minuten) dan volgens de rekenregel.

Borgogno en Fontana [Borgogno: 1995] hebben proeven uitgevoerd op IFB-liggers type $\frac{1}{2}$ IPE400–400x12. Dit type ligger komt in dit rapport niet voor. Wel komen enkele vergelijkbare typen voor, te weten typen $\frac{1}{2}$ IPE400–380x10 en $\frac{1}{2}$ IPE500–400x12. Een vergelijking van de temperaturen levert het volgende beeld:

| IFB | $t = 30 \text{ min.}$ | | | $t = 60 \text{ min.}$ | | | $t = 120 \text{ min.}$ | | |
|------------------------------------|-----------------------|-----|----|-----------------------|-----|----|------------------------|-----|-----|
| Doorsnede type | 1 | 2 | 3 | 1 | 2 | 3 | 1 | 2 | 3 |
| 1/2 IPE400 380X10 simulatie TNO | 579 | 484 | 38 | 811 | 715 | 94 | 993 | 864 | 203 |
| 1/2 IPE500 400X12 simulatie TNO | 554 | 456 | 30 | 796 | 695 | 70 | 987 | 854 | 162 |
| 1/2 IPE400 400X10 proeven Borgogno | 454 | 407 | 27 | 766 | 746 | 74 | 963 | 946 | 116 |

Tabel 6.2: vergelijking simulatie resultaten met proeven Borgogno

Ook hier blijkt dat bij 30 minuten brandwerendheid de temperaturen in de simulaties hoger uitkomen dan gemeten in de proef. Bij 60 minuten is de overeenkomst zeer goed te noemen.

Tot slot is er een vergelijking gemaakt met resultaten van proeven, uitgevoerd bij TNO [Fellinger, 1994]. Deze proeven zijn uitgevoerd op liggers van het type SFB HE180M–400x15. Deze proeven zijn uitgevoerd voor 3 verschillende diktes van de luchtlag tussen onderflens en aangelaste plaat. In de simulaties in dit rapport is de HE180M–390x15 beschouwd. In onderstaande tabel worden de gemeten en berekende temperaturen vergeleken.

| SFB | $t = 30 \text{ min.}$ | | | | $t = 60 \text{ min.}$ | | | | $t = 120 \text{ min.}$ | | | |
|---|-----------------------|-----|-----|----|-----------------------|-----|-----|-----|------------------------|------|-----|-----|
| Doorsnede type | 1 | 2 | 3 | 4 | 1 | 2 | 3 | 4 | 1 | 2 | 3 | 4 |
| HE180M390X15 simulatie TNO | 517 | 459 | 405 | 38 | 777 | 730 | 680 | 102 | 996 | 967 | 907 | 240 |
| HE180M400X15, luchtlag 3 mm, proef TNO | 530 | 420 | 480 | - | 820 | 760 | 760 | - | 1010 | 1000 | 990 | - |
| HE180M400X15, luchtlag 2.2 mm, proef TNO | 520 | 420 | 490 | - | 820 | 760 | 760 | - | 1010 | 1000 | 990 | - |
| HE180M400X15, luchtlag 4.1 mm, proef TNO | 510 | 470 | 530 | - | 810 | 760 | 780 | - | 1010 | 990 | 980 | - |

Tabel 6.3: vergelijking simulatie resultaten met proeven TNO

Deze vergelijking laat zien, dat voor 30 en 60 minuten de temperaturen eerder onderschat dan overschat worden. De verschillen zijn echter klein.

De verschillende vergelijkingen optellend, kan geconcludeerd worden dat de gemeten en de berekende temperaturen goed overeenkomen. Doordat meetresultaten variëren kan de voorspelde temperatuur soms hoger of lager liggen, maar over het algemeen blijken de aangenomen thermische eigenschappen een goed beeld van de warmte-indringing te geven.

7 Rekenregels

De rekenmethode voor de bepaling van de draagkracht van geïntegreerde liggers onder brandomstandigheden maakt gebruik van de karakteristieke temperaturen om het plastisch moment te berekenen. Ook de zo berekende plastische momenten zijn in tabelvorm gegeven in de bijlagen. Deze plastische momenten kunnen worden gebruikt als voldaan is aan het criterium voor dwarsbuiging, zie formule 7.2. Hieronder volgt de afleiding van de plastische momenten in de tabellen en de toetsing op de dwarsbuiging. Het verloop van de vloeigrens van de stalen ligger bepaald volgens NEN6072:

$$f_{y,d}(T) = \psi(T) \cdot f_{y,d}(20^\circ\text{C}) \quad (7.1)$$

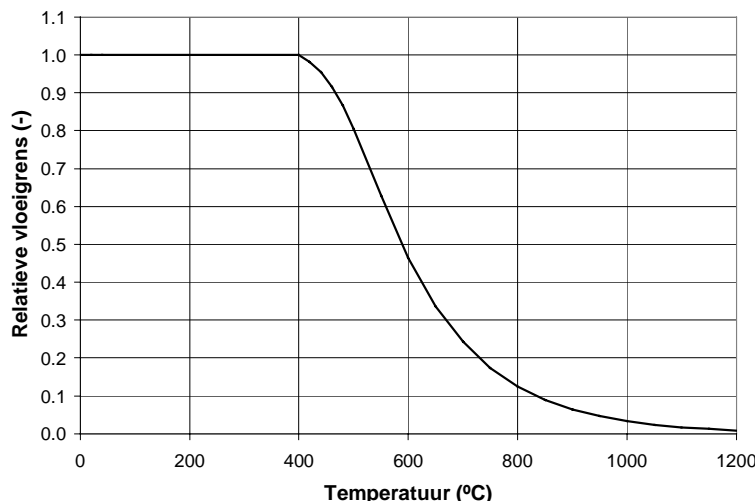
waarbij:

$$\psi(T) = 1 \quad \text{voor } T_a \leq 400^\circ\text{C}$$

$$\psi(T) = 1,03 / (\text{e}^{\beta} + 1)^{0,26} \quad \text{voor } 400^\circ\text{C} < T_a \leq 1200^\circ\text{C}$$

$$\beta = (T_a - 482) / 39,2$$

T_a = staaltemperatuur



Figuur 7.1: Afname van de vloeigrens van staal bij hoge temperaturen volgens NEN6072

7.1 Controle van de draagkracht in dwarsrichting

Doel van deze controle is om te bepalen of de plaat (en bij een SFB-ligger ook de onderflens) voldoende sterk is om de spanningen op te nemen die ontstaan uit buiging en afschuiving in dwarsrichting in de plaat (en bij een SFB-ligger ook de onderflens) ten gevolge van de oplegging van de vloerplaat. Deze controle gebeurt door bij de karakteristieke temperatuur in het maatgevende punt de vloeigrens van het staal te bepalen en te toetsen of de constructie genoeg sterkte heeft.

Dit gebeurt volgens de algemene formule:

$$C = 3 \cdot \left(\frac{q_{\max}}{f_y(T_n) \cdot t_u} \right)^2 + 2 \cdot \frac{(e_1 - e_2)}{t_u} \cdot \frac{q_{\max}}{f_y(T_n) \cdot t_u} \leq 1 \quad (7.2)$$

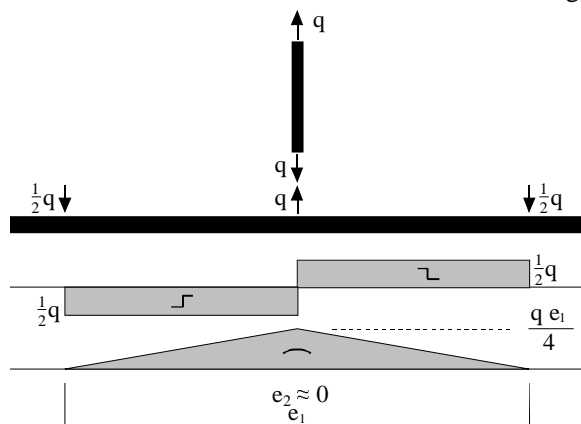
waarin:

- q_{\max} is de grootste waarde van de dwarskracht van de twee opleg zijden. Bij gelijke oplegreacties aan weerszijden van de ligger is dit dus gelijk aan $\frac{1}{2}q$, de helft van de totale dwarskracht.
- e_1, e_2 volgen uit figuren 7.2, 7.3 en 7.4.
- $f_y(T_n)$ vloeigrens bij de karakteristieke temperatuur in punt n volgens formule 7.1
- t_u dikte van de onderflens of plaat

Hieronder wordt de toepassing van deze formule voor de specifieke liggetypen toegelicht.

7.1.1 IFB

De krachtsafdracht in de onderflens van de IFB-ligger is als volgt:



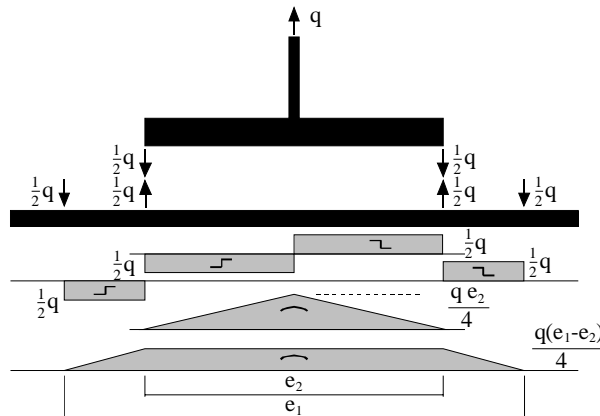
Figuur 7.2: Krachtsafdracht onderflens IFB-ligger

Het maatgevende punt is voor IFB-liggers punt 2 (zie tabel 6.1). Met deze temperatuur wordt de vloeigrens van het staal $f_y(T_2)$ bepaald.

Formule 7.2 kan gehanteerd worden met $e_2 = 0$. Verder geldt $q_{\max} = \frac{1}{2}q$.

7.1.2 SFB

De krachtsafdracht in onderflens en plaat van de SFB-ligger is als volgt:



Figuur 7.3: Krachtsafdracht in onderflens en plaat SFB-ligger

Bij de SFB-ligger dienen zowel de onderflens als de plaat gecontroleerd te worden volgens formule 7.2.

Het karakteristieke punt voor de plaat is punt 2, voor de onderflens kan de temperatuur bepaald worden door lineaire interpolatie tussen de punten 3 en 4 (zie tabel 6.1). Als vloegrens dient dus voor de controle van de plaat $f_y(T_2)$ genomen te worden, voor de onderflens kan $f_y(T_{OF})$ genomen worden, of als veilige waarde $f_y(T_3)$.

De temperatuur van de onderflens wordt als volgt geïnterpolateerd:

$$T_{OF} = T_3 - \frac{\frac{1}{2}t_{OF} + t_p}{h_{tot}} \cdot (T_3 - T_4)$$

waarin:

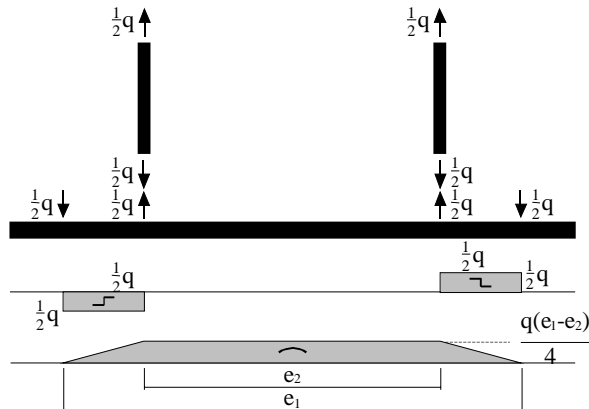
| | |
|------------|---|
| T_{OF} | temperatuur in het hart van de onderflens |
| T_3, T_4 | temperatuur in punten 3 en 4 |
| t_{OF} | dikte van de onderflens |
| t_p | dikte van de plaat |
| h_{tot} | totale hoogte van de doorsnede |

Voor zowel de plaat als de onderflens geldt $q_{max} = \frac{1}{2} \cdot q$.

Uit de geometrie volgt, dat voor de onderflens in formule 7.2 de term $(e_1 - e_2)$ vervangen dient te worden door (e_2) .

7.1.3 THQ

De krachtsafdracht in de onderflens van de THQ-ligger is als volgt:



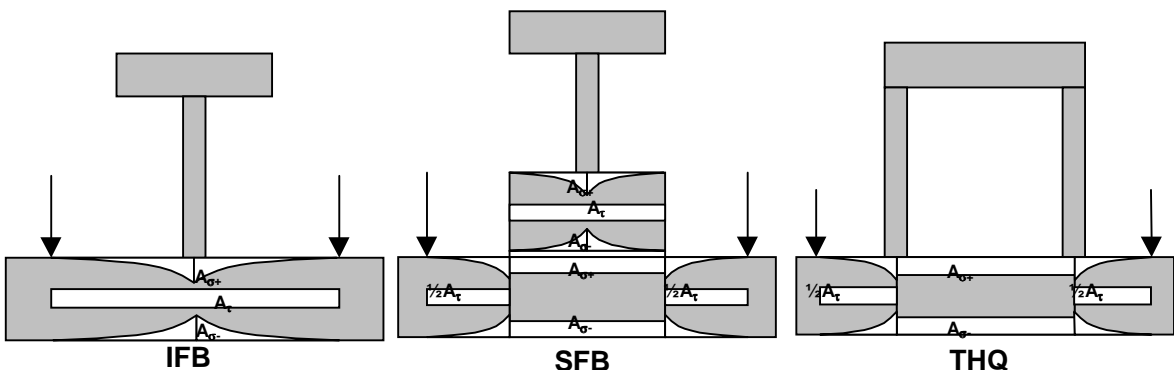
Figuur 7.4: Krachtsafdracht in onderflens THQ-ligger

Bij de THQ-ligger is punt 1 maatgevend voor de karakteristieke temperatuur (zie tabel 6.1). Daarmee wordt de vloeigrens $f_y(T_1)$ bepaald. De doorsnedecontrole wordt gedaan met formule 7.2, waarbij geldt $q_{\max} = \frac{1}{2}q$.

7.2 Doorsnedereductie t.b.v. axiaal moment

De bijdrage van de onderflens aan de momentcapaciteit van de ligger moet worden gereduceerd vanwege de spanningen in dwarsrichting. De spanningsverdeling in de onderflens door buiging en afschuiving in dwarsrichting moet worden bepaald door de flens als een uitkragende ligger te beschouwen met de aansluiting op het lijf als oplegpunkt, zie figuren 7.2, 7.3 en 7.4.

Voor de beoordeling van de positieve momentcapaciteit (in het veld) mag worden uitgegaan van de plastische spanningsverdeling in de onderflens omdat deze in axiale richting onder trek staat.



Figuur 7.5: Doorsnedereductie door buiging en afschuiving in dwarsrichting

Zonder het Huber-Hencky vloeicriterium te overschrijden kan in gebied $A_{\sigma+}$ de volledige vloeigrens in axiale richting worden toegelaten, zie figuur 7.5. De doorsnede van de onderflens moet worden gereduceerd met $A_{\sigma-}$ en A_t . In het overige gebied kan de volledige vloeigrens in axiale richting worden toegelaten. De doorsnede wordt opgedeeld in stukken met ieder een karakteristieke temperatuur. Deze opdeling is te vinden in hoofdstuk 6, de bijbehorende temperaturen zijn in tabelvorm opgenomen als bijlage.

Voor de bepaling van de doorsnede reductie wordt aangenomen dat de doorsnedereductie door dwarskracht verwaarloosbaar klein is. De doorsnedereductie in het verlopende deel (UP) kan bepaald worden door het oppervlak onder de wortelfunctie te bepalen. In het constante deel (NUP) kan de doorsnedereductie worden bepaald door het oppervlak onder de rechthoek te nemen.

Voor de toetsing van het negatieve steunpuntsmoment moet rekening worden gehouden met de doorsnedeklasse in verband met plooij. Vanwege gebrek aan inzicht over het plooifenoomeen bij hoge temperaturen worden de rekenregels beperkt tot statisch bepaalde liggers. Aanwijzingen voor het omgaan met plooij worden gegeven in NEN en prEN. Aangezien de temperatuur in het lijf langzamer toeneemt dan in de onderflens, loopt de momentcapaciteit bij brand sneller terug dan de dwarskrachtcapaciteit. Daarom lijkt een toetsing uitsluitend op buigend moment voldoende, mits de momentcapaciteit bij kamertemperatuur maatgevend was en niet de dwarskrachtcapaciteit.

7.2.1 IFB

De werkzame doorsnede in de axiale richting mag worden bepaald volgens:

$$A_{UP;ef} = \left(1 - C \cdot \left(\frac{1}{6} - \frac{10}{b_p} \right) \right) \cdot t_p \cdot b_p \quad (7.3)$$

waarin (indices volgen uit figuur 6.1):

| | |
|-------|--------------------------------------|
| C | volgt uit formule 7.2 |
| b_p | de totale breedte van de plaat in mm |
| t_p | de dikte van de plaat in mm |

7.2.2 SFB

Indien een ligger wordt toegepast bestaande uit een walsprofiel waaronder een uitkragende plaat is gelast, moet zowel de doorsnede van de aangelaste plaat worden gereduceerd als de doorsnede van de onderflens van het walsprofiel.

Voor de plaat geldt:

$$A_{UP;ef} = \left(1 - C_p \cdot \left(\frac{1}{6} - \frac{10}{(b_p - e_2)} \right) \right) \cdot t_p \cdot (b_p - e_2) \quad (7.4a)$$

$$A_{NUP;ef} = \left(1 - \frac{C_p}{2} \right) \cdot t_p \cdot e_2 \quad (7.4b)$$

waarin (indices volgen uit figuur 6.1):

| | |
|-------|---|
| C_p | volgt uit formule 7.2 |
| b_p | de totale breedte van de plaat in mm |
| e_2 | de totale breedte van de onderflens in mm |
| t_p | de dikte van de plaat in mm |

Voor de onderflens geldt:

$$A_{OF;ef} = \left(1 - \frac{C_{OF}}{6}\right) \cdot t_{OF} \cdot e_2 \quad (7.4c)$$

waarin (indices volgen uit figuur 6.1):

| | |
|----------|---|
| C_{OF} | volgt uit formule 7.2 |
| e_2 | de totale breedte van de onderflens in mm |
| t_{OF} | de dikte van de onderflens in mm |

7.2.3 THQ

De werkzame doorsnede in de axiale richting mag worden bepaald volgens:

$$A_{UP;ef} = \left(1 - C \cdot \left(\frac{1}{6} - \frac{10}{(b_p - e_2)}\right)\right) \cdot t_p \cdot (b_p - e_2) \quad (7.5a)$$

$$A_{NUP;ef} = \left(1 - \frac{C}{2}\right) \cdot t_p \cdot e_2 \quad (7.5b)$$

waarin (indices volgen uit figuur 6.1):

| | |
|-------|--------------------------------------|
| C | volgt uit formule 7.2 |
| b_p | de totale breedte van de plaat in mm |
| e_2 | volgt uit figuur 7.4 in mm |
| t_p | de dikte van de plaat in mm |

7.3 Plastisch moment

Voor de bepaling van het plastisch moment zijn twee methoden mogelijk:

- Vereenvoudigde bepaling m.b.v. tabel
- Doorsnedebeschouwing

7.3.1 Vereenvoudigde bepaling m.b.v. tabel

In de tabellen (zie bijlage) zijn plastische weerstandsmomenten (in verticale richting) gegeven voor $C = 0.0$ en $C = 1.0$. Deze weerstandsmomenten zijn weergegeven als percentage van het plastische weerstandsmoment bij kamertemperatuur. De plastische momenten voor $C = 0.0$ en $C = 1.0$ kunnen als volgt bepaald worden:

$$M_{pl} = tabelwaarde \cdot W_{pl;20} \cdot f_y \quad (7.6)$$

Als M_{pl} voor $C = 0.0$ en $C = 1.0$ bekend zijn, kan door lineaire interpolatie de waarde van M_{pl} bij de werkelijke waarde van C bepaald worden.

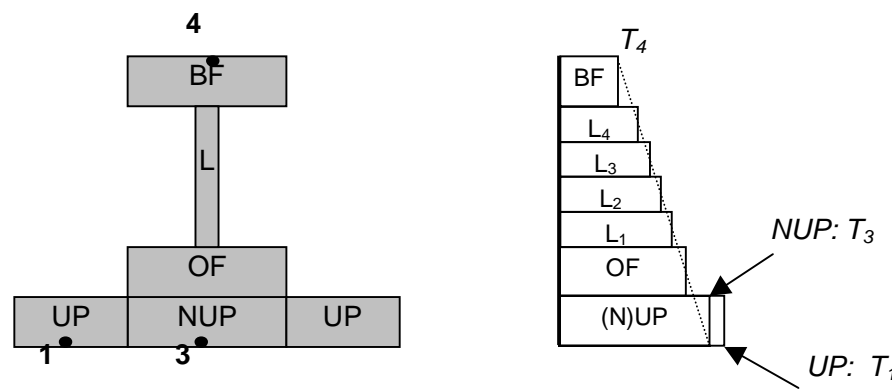
In het geval van SFB liggers zijn er twee waarden voor C , namelijk C_P en C_{OF} . In dit geval is het een veilige benadering om van deze twee waarden de grootste te nemen, en daarmee te interpoleren.

Tevens geldt voor alle liggertypen, dat bepaling van M_{pl} bij $C = 1.0$ een veilige waarde oplevert.

7.3.2 Doorsnedebeschouwing

Nadat A_{ef} bepaald is (gereduceerde doorsnede), kan het plastisch moment worden berekend.

Het plastisch moment wordt bepaald door de doorsnede op te delen in de bovenflens, het lijf (in 4 gelijke lagen), de onderflens (in het geval van de SFB ligger), en de plaat. Omdat de temperatuur van de plaat over de breedte varieert is deze opgedeeld in een uitstekend plaatdeel (UP) en een niet-uitstekend plaatdeel (NUP). Elk oppervlak heeft een uniforme temperatuur. De vloeigrens in de vlakken in het lijf en in de onderflens wordt vereenvoudigd bepaald door de temperaturen in deze vlakken lineair over de hoogte te interpoleren tussen punt 3 en punt 4.



Figuur 7.6: Bepaling vloeigrens in opgedeelde doorsnede, voorbeeld SFB-ligger

De waarden van $f_y(T)$ worden bepaald volgens formule 7.1.

Met de gereduceerde oppervlaktes kan nu de ligging van de neutrale lijn in de doorsnede worden berekend voor bepaling van het plastisch moment.

De kracht per gedeelte van het oppervlak is:

$$N = A_{ef} \cdot f_y$$

waarin

| | |
|----------|--|
| N | resultante kracht voor een gedeelte van de doorsnede |
| A_{ef} | effectieve oppervlakte van een gedeelte van de doorsnede |
| f_y | vloeigrens in het gedeelte van de doorsnede |

De hoogte van de neutrale lijn is zodanig dat de resultante kracht boven deze lijn (druk) en onder deze lijn (trek) even groot zijn, waardoor de totale normaalkracht gelijk aan nul is.

$$\Sigma N = 0$$

Als de ligging van de neutrale lijn bekend is wordt het plastisch moment M_{pl} bepaald als som van de bijdragen aan het moment door de verschillende krachten in de doorsnede.

8 Rekenvoorbeeld

8.1 Basisgegevens

Gegeven een kantoorgebouw:

- Geïntegreerde liggers type SFB HE200B-400x10, gewicht 0.9 kN/m.
- Liggers h.o.h.-afstand 7.2 m, overspanning 4.6 m.
- Eigen gewicht kanaalplaatvloer 5.5 kN/m².
- Momentane variabele belasting van 0.5·2.5 = 1.25 kN/m².
- Staalkwaliteit S355.
- Eis: 60 min brandwerendheid.

Uit de bovenstaande gegevens volgt, dat de belasting op de ligger bij brand $q_d = 49.5$ kN/m en het moment $M_d = 130.9$ kNm.

Het gewicht van de vloer op de liggers is $q_{\max} = 48.6$ kN/m.

| | |
|---------------|--------|
| Totale hoogte | 210 mm |
| b_{BF} | 200 mm |
| t_{BF} | 15 mm |
| h_L | 170 mm |
| t_L | 9 mm |
| B_{OF} | 200 mm |
| t_{OF} | 15 mm |
| b_P | 400 mm |
| t_P | 10 mm |
| e_1 | 300 mm |
| e_2 | 200 mm |

Tabel 8.1: Geometrische eigenschappen van ligger type SFB HE200B-400x10

Voor 60 minuten brandwerendheid kunnen de temperaturen van de karakteristieke punten uit de tabel (zie bijlage) worden afgelezen. Met behulp van formule 7.1 wordt hiermee voor elk van deze punten de vloeigrens bepaald. De resultaten staan in onderstaande tabel.

| Punt | 1 | 2 | 3 | 4 |
|-------------------------------|------|------|------|-------|
| T_{punt} (60 min) (°C) | 820 | 784 | 732 | 70 |
| $f_v(T)$ (N/mm ²) | 38.9 | 49.3 | 69.6 | 355.0 |

Tabel 8.2: Temperatuur en vloeigrens in de karakteristieke punten

8.2 Controle draagkracht in dwarsrichting

8.2.1 Plaat

Punt 2: $f_y = 49.3$ N/mm²

$$C_P = 3 \cdot \left(\frac{\frac{1}{2} \cdot 48.6}{49.3 \cdot 10} \right)^2 + 2 \cdot \frac{(300 - 200)}{10} \cdot \frac{\frac{1}{2} \cdot 48.6}{49.3 \cdot 10} \leq 1 \quad (\text{volgens formule 7.2})$$

$$C_P = 0.993 \leq 1 \quad (\text{conclusie: voldoet})$$

8.2.2 Onderflens

Voor de onderflens dient de temperatuur bepaald te worden middels lineaire interpolatie tussen de punten 3 en 4. Als de controle met de temperatuur in punt 3 reeds voldoet is deze interpolatie overbodig.

8.2.2.1 Zonder temperatuur interpolatie

Punt 3: $f_y = 69.6 \text{ N/mm}^2$

$$C_{OF} = 3 \cdot \left(\frac{\frac{1}{2} \cdot 48.6}{69.6 \cdot 15} \right)^2 + 2 \cdot \frac{200}{15} \cdot \frac{\frac{1}{2} \cdot 48.6}{69.6 \cdot 15} \leq 1 \quad (\text{volgens formule 7.2})$$

$$C_{OF} = 0.622 \leq 1 \quad (\text{conclusie: voldoet})$$

8.2.2.2 Met temperatuur interpolatie

$$T_{OF} = 732 - \frac{\frac{1}{2} \cdot 15 + 10}{210} \cdot (732 - 70) = 677^\circ\text{C}$$

Onderflens: $f_y = 100.1 \text{ N/mm}^2$

$$C_{OF} = 3 \cdot \left(\frac{\frac{1}{2} \cdot 48.6}{100.1 \cdot 15} \right)^2 + 2 \cdot \frac{200}{15} \cdot \frac{\frac{1}{2} \cdot 48.6}{100.1 \cdot 15} \leq 1 \quad (\text{volgens formule 7.2})$$

$$C_{OF} = 0.432 \leq 1 \quad (\text{conclusie: voldoet})$$

8.3 Axiaal moment

8.3.1 Vereenvoudigde methode

In de bijlagen zijn plastische weerstandsmomenten gegeven voor $C = 0$ en $C = 1$. Een veilige benadering is het weerstandsmoment voor $C=0.993$ (de grootste waarde van C_P en C_{OF}) te bepalen middels lineaire interpolatie. Uit de tabel volgt dan:

$C = 0.0$:

$$M_{pl} = W_{pl} \cdot f_y = 0.512 \cdot W_{pl;20} \cdot f_y$$

Voor $f_y = 355 \text{ N/mm}^2$ en $W_{pl;20} = 7.616 \cdot 10^{-4} \text{ m}^3$ leidt dit tot $M_{pl} = 138.4 \text{ kNm}$.

$C = 1.0$:

$$M_{pl} = W_{pl} \cdot f_y = 0.423 \cdot W_{pl;20} \cdot f_y = 114.4 \text{ kNm.}$$

Voor $C = 0.993$ kan dan door interpolatie gevonden worden, dat $M_{pl} = 114.5 \text{ kNm} (< M_d = 130.9 \text{ kNm})$

Omdat de C waarde voor de plaat duidelijk hoger ligt dan die van de onderflens, is de interpolatie erg veilig en kan in dit geval winst worden gehaald met een handmatige berekening.

8.3.2 Handmatige berekening met temperatuurtabellen

8.3.2.1 Doorsnede reductie

(volgens formules 7.4)

$$A_{UP;ef} = \left(1 - 0.993 \cdot \left(\frac{1}{6} - \frac{10}{(400 - 200)} \right) \right) \cdot 10 \cdot (400 - 200) = 1768 \text{ mm}^2$$

$$A_{NUP;ef} = \left(1 - \frac{0.993}{2} \right) \cdot 10 \cdot 200 = 1007 \text{ mm}^2$$

$$A_{OF;ef} = \left(1 - \frac{0.622}{6} \right) \cdot 15 \cdot 200 = 2689 \text{ mm}^2$$

8.3.2.2 Doorsnede beschouwing

Per gedeelte van het oppervlak kan de plastische normaalkracht worden bepaald, zie onderstaande tabel.

| | $A_{ef}(\text{mm}^2)$ | $T (\text{°C})$ | $f_y(\text{N/mm}^2)$ | $N_{pl}(\text{kN})$ |
|----------------|-----------------------|-----------------|----------------------|---------------------|
| BF | 3000 | 70 | 355.0 | 1065.0 |
| L ₁ | 382.5 | 184 | 355.0 | 135.8 |
| L ₂ | 382.5 | 318 | 355.0 | 135.8 |
| L ₃ | 382.5 | 452 | 330.9 | 126.6 |
| L ₄ | 382.5 | 586 | 180.0 | 68.8 |
| OF | 2689 | 677 | 100.1 | 269.6 |
| NUP | 1007 | 732 | 69.6 | 70.1 |
| UP | 1768 | 820 | 38.9 | 68.7 |

Tabel 8.3: Bepaling plastische normaalkracht per deel van oppervlakte.

De totale plastische doorsnedekracht is de som van de plastische normaalkrachten in de afzonderlijke vlakjes, en bedraagt 1940.4 kN. Omdat meer dan de helft van deze kracht wordt geleverd door de bovenflens, ligt de neutrale lijn dus in de bovenflens:

$$z = 210 - 15 \cdot \frac{0.5 \cdot 1940.4}{1065} = 196.4 \text{ mm}$$

Een sommering van de bijdragen van de normaalkrachten aan het plastisch moment (waarbij de bovenflens deels in het trek-, deels in het drukgebied ligt) resulteert in $M_{pl} = 117.3 \text{ kNm} (< M_d)$.

Beide methoden leveren een moment M_{pl} op die kleiner is dan M_d . In dit geval wordt dus geconcludeerd dat de gekozen ligger niet voldoet voor een brandwerendheid van 60 minuten.

8.3.3 Alternatieve constructie

Een mogelijke oplossing is de keuze voor een stalen plaat van 15 mm dikte in plaats van 10 mm. Het plastisch weerstandsmoment van dit type ligger bij kamertemperatuur is $W_{pl;20} = 7.949 \cdot 10^{-4} \text{ m}^3$.

$$M_d = \frac{1}{8} \cdot 49.6 \cdot 4.6^2 = 131.2 \text{ kNm}$$

Controle draagkracht in dwarsrichting:

$$\text{Punt 2: } T = 768 \text{ }^{\circ}\text{C}, f_y = 54.8 \text{ N/mm}^2 \rightarrow C_P = 0.397 \leq 1 \text{ (conclusie: voldoet)}$$

$$\text{Punt 3: } T = 721 \text{ }^{\circ}\text{C}, f_y = 74.9 \text{ N/mm}^2 \rightarrow C_{OF} = 0.578 \leq 1 \text{ (conclusie: voldoet)}$$

Controle plastisch moment:

Voor $C = 1.0$ geldt (bij $f_y = 355 \text{ N/mm}^2$)

$$M_{pl} = W_{pl} \cdot f_y = 0.501 \cdot W_{pl;20} \cdot f_y = 141.4 \text{ kNm} > M_d \text{ (conclusie: voldoet)}$$

Deze ligger, type SFB HE200B-400x15, voldoet dus wel voor de vereiste brandwerendheid.


Ir. A. Breunese



Ir. J.H.H. Fellinger

9 Referenties

- Borgogno, W. & Fontana, M.**: Brandversuch an einer Slim Floor Decke, ETH Zürich, 1995
- Both, C.**: The fire resistance of composite steel-concrete slabs, TNO-TU Delft, 1998
- Brekelmans, J.W.P.M. e.a.**: CUR-BmS rapport 2001-2, Vloeren van kanaalplaten met geïntegreerde stalen liggers, ontwerp vervaardiging en toetsing, 2001
- ECCS Technical Committee 3**, Model Code on Fire Engineering
- Eldik, C.H. van e.a.**: Verdiepingbouw in staal en beton, Staalbouw Instituut, Rotterdam 1995
- ENV 1992-1-2:1995**, Design of concrete structures, General rules – Structural fire design
- ENV 1994-1-2:1995**, Design of composite steel and concrete structures, General rules – Structural fire design
- Fellinger, J.H.H.**: Brandwerendheid van geïntegreerde liggers, 1994, Delft
- NEN 6071**, Rekenkundige bepaling van de brandwerendheid van bouwdelen, Betonconstructies, 1^e druk, december 1991, inclusief wijzigingsblad NEN 6071/A1, mei 1997, NEN, Delft
- NEN 6072**, Rekenkundige bepaling van de brandwerendheid van bouwdelen, Staalconstructies, 1^e druk, december 1991, inclusief wijzigingsblad NEN 6072/A1, mei 1997, NEN, Delft
- prEN 1993-1-2: 2001**, Design of steel structures, General rules –Structural fire design
- prEN 1994-1-2: 2001**, Design of composite steel and concrete structures, General rules, Structural fire design
- Verburg, W.H.**: ‘Geïntegreerde liggers. Rekenmodel voor de doorsnedecontrole volgens NEN 6770’, Bouwen met Staal 107 (1992), p. 7-12.

A Tabellen met karakteristieke temperaturen

- IFB(1)
- IFB(2)
- SFB
- THQ(1)
- THQ(2)
- THQ(3)

| IFB (1) | t = 30 min. | | | t = 60 min. | | | t = 90 min. | | | t = 120 min. | | |
|-------------------|-------------|-----|-----|-------------|-----|-----|-------------|-----|-----|--------------|-----|-----|
| | 1 | 2 | 3 | 1 | 2 | 3 | 1 | 2 | 3 | 1 | 2 | 3 |
| Doorsnede type | | | | | | | | | | | | |
| 1/2 HE220M 430X15 | 524 | 413 | 110 | 768 | 646 | 259 | 889 | 771 | 408 | 979 | 837 | 516 |
| 1/2 HE240M 450X20 | 487 | 391 | 92 | 740 | 632 | 228 | 868 | 763 | 367 | 963 | 833 | 478 |
| 1/2 HE260B 460X12 | 565 | 455 | 86 | 803 | 687 | 201 | 921 | 794 | 310 | 993 | 849 | 404 |
| 1/2 HE260M 470X20 | 488 | 391 | 82 | 743 | 632 | 206 | 870 | 761 | 330 | 964 | 828 | 437 |
| 1/2 HE280M 490X20 | 490 | 390 | 74 | 746 | 632 | 187 | 874 | 760 | 299 | 966 | 825 | 400 |
| 1/2 HE280M 490X25 | 462 | 383 | 71 | 726 | 634 | 183 | 863 | 770 | 296 | 958 | 838 | 398 |
| 1/2 HE300B 500X15 | 541 | 441 | 69 | 791 | 683 | 170 | 915 | 796 | 265 | 989 | 851 | 346 |
| 1/2 HE300M 510X25 | 458 | 371 | 64 | 720 | 618 | 167 | 856 | 753 | 272 | 952 | 822 | 370 |
| 1/2 HE320B 500X15 | 538 | 433 | 65 | 788 | 674 | 160 | 912 | 789 | 251 | 987 | 844 | 330 |
| 1/2 HE320M 510X25 | 456 | 367 | 60 | 718 | 614 | 159 | 854 | 749 | 261 | 950 | 819 | 356 |
| 1/2 HE320M 510X30 | 433 | 361 | 58 | 700 | 614 | 155 | 843 | 756 | 257 | 943 | 829 | 353 |
| 1/2 HE340B 500X15 | 538 | 433 | 58 | 788 | 675 | 145 | 912 | 789 | 229 | 987 | 844 | 303 |
| 1/2 HE340M 510X25 | 456 | 367 | 56 | 718 | 615 | 149 | 854 | 750 | 245 | 950 | 820 | 336 |
| 1/2 HE340M 510X30 | 432 | 361 | 54 | 700 | 615 | 145 | 844 | 757 | 241 | 943 | 830 | 334 |
| 1/2 HE360B 500X15 | 535 | 426 | 55 | 785 | 666 | 139 | 909 | 783 | 220 | 986 | 838 | 293 |
| 1/2 HE360M 510X20 | 483 | 372 | 54 | 739 | 612 | 143 | 866 | 741 | 234 | 959 | 808 | 319 |
| 1/2 HE360M 510X25 | 455 | 367 | 52 | 719 | 616 | 139 | 855 | 751 | 231 | 951 | 820 | 318 |
| 1/2 HE360M 510X30 | 432 | 361 | 50 | 701 | 616 | 136 | 844 | 758 | 227 | 944 | 830 | 315 |
| 1/2 HE400B 500X20 | 497 | 411 | 46 | 760 | 663 | 119 | 892 | 790 | 195 | 977 | 849 | 263 |
| 1/2 HE400M 510X25 | 454 | 367 | 45 | 719 | 617 | 122 | 856 | 753 | 204 | 951 | 821 | 283 |
| 1/2 HE400M 510X30 | 431 | 361 | 44 | 701 | 617 | 118 | 845 | 759 | 200 | 944 | 831 | 281 |
| 1/2 HE450B 500X20 | 494 | 404 | 39 | 757 | 657 | 100 | 889 | 785 | 168 | 975 | 844 | 229 |
| 1/2 HE450M 510X25 | 454 | 367 | 39 | 719 | 618 | 103 | 857 | 755 | 176 | 952 | 823 | 246 |
| 1/2 HE450M 510X30 | 431 | 360 | 38 | 701 | 617 | 100 | 846 | 761 | 173 | 945 | 833 | 244 |
| 1/2 HE500A 500X20 | 497 | 415 | 32 | 762 | 670 | 78 | 897 | 798 | 134 | 979 | 857 | 184 |
| 1/2 HE500B 500X20 | 490 | 399 | 34 | 754 | 650 | 85 | 886 | 780 | 145 | 973 | 840 | 201 |
| 1/2 HE500M 510X25 | 453 | 366 | 34 | 719 | 618 | 87 | 857 | 756 | 152 | 953 | 824 | 215 |
| 1/2 HE500M 510X30 | 430 | 360 | 33 | 701 | 618 | 85 | 847 | 762 | 150 | 946 | 834 | 213 |
| 1/2 HE550A 500X20 | 493 | 408 | 29 | 759 | 664 | 68 | 894 | 792 | 118 | 978 | 852 | 164 |
| 1/2 HE550B 500X20 | 489 | 397 | 30 | 754 | 650 | 70 | 886 | 780 | 122 | 974 | 840 | 171 |
| 1/2 HE550B 500X25 | 461 | 389 | 29 | 733 | 650 | 68 | 875 | 788 | 120 | 967 | 853 | 169 |
| 1/2 HE550M 510X25 | 452 | 365 | 30 | 719 | 618 | 74 | 858 | 757 | 131 | 954 | 825 | 187 |
| 1/2 HE550M 510X30 | 429 | 359 | 29 | 701 | 618 | 72 | 847 | 763 | 129 | 947 | 835 | 185 |
| 1/2 HE550M 510X30 | 429 | 359 | 29 | 701 | 618 | 72 | 847 | 763 | 129 | 947 | 835 | 185 |
| 1/2 HE600A 500X20 | 492 | 407 | 26 | 759 | 663 | 56 | 894 | 793 | 98 | 978 | 852 | 139 |
| 1/2 HE600B 500X20 | 486 | 392 | 27 | 751 | 644 | 61 | 883 | 775 | 107 | 972 | 836 | 152 |
| 1/2 HE600B 500X25 | 458 | 384 | 27 | 730 | 644 | 59 | 872 | 783 | 105 | 965 | 848 | 150 |
| 1/2 HE600M 510X30 | 428 | 358 | 27 | 700 | 618 | 61 | 847 | 763 | 112 | 947 | 836 | 162 |
| 1/2 HE600M 510X35 | 408 | 351 | 26 | 684 | 615 | 60 | 837 | 765 | 109 | 940 | 843 | 160 |
| 1/2 HE650A 500X20 | 488 | 400 | 25 | 756 | 656 | 50 | 890 | 787 | 87 | 976 | 847 | 125 |
| 1/2 HE650B 500X25 | 457 | 382 | 25 | 729 | 644 | 50 | 872 | 783 | 89 | 965 | 848 | 130 |
| 1/2 HE650M 510X25 | 449 | 363 | 25 | 718 | 618 | 54 | 858 | 758 | 98 | 954 | 827 | 143 |
| 1/2 HE650M 510X30 | 426 | 357 | 25 | 700 | 617 | 53 | 847 | 763 | 96 | 947 | 836 | 142 |
| 1/2 HE650M 510X35 | 407 | 350 | 25 | 684 | 615 | 52 | 837 | 766 | 94 | 941 | 844 | 140 |

Karakteristieke temperatuuren: IFB (1)

| IFB (2) | t = 30 min. | | | t = 60 min. | | | t = 90 min. | | | t = 120 min. | | |
|--------------------|-------------|-----|----|-------------|-----|-----|-------------|-----|-----|--------------|-----|-----|
| | 1 | 2 | 3 | 1 | 2 | 3 | 1 | 2 | 3 | 1 | 2 | 3 |
| Doorsnede type | | | | | | | | | | | | |
| 1/2 IPE400 380X10 | 579 | 484 | 38 | 811 | 715 | 94 | 924 | 812 | 151 | 993 | 864 | 203 |
| 1/2 IPE400 O390X12 | 560 | 469 | 40 | 799 | 707 | 100 | 917 | 809 | 161 | 988 | 863 | 218 |
| 1/2 IPE450 390X12 | 558 | 468 | 34 | 799 | 707 | 80 | 917 | 810 | 134 | 989 | 863 | 180 |
| 1/2 IPE450 O400X12 | 555 | 458 | 34 | 796 | 695 | 84 | 914 | 801 | 139 | 987 | 854 | 189 |
| 1/2 IPE500 400X12 | 554 | 456 | 30 | 796 | 695 | 70 | 914 | 801 | 118 | 987 | 854 | 162 |
| 1/2 IPE500 O410X15 | 529 | 443 | 30 | 782 | 689 | 72 | 904 | 803 | 122 | 982 | 858 | 168 |
| 1/2 IPE550 410X15 | 531 | 450 | 26 | 786 | 699 | 55 | 909 | 811 | 94 | 984 | 866 | 132 |
| 1/2 IPE550 O420X15 | 526 | 434 | 28 | 779 | 680 | 62 | 901 | 796 | 107 | 981 | 851 | 149 |
| 1/2 IPE600 420X15 | 527 | 440 | 25 | 783 | 689 | 49 | 906 | 803 | 84 | 983 | 858 | 120 |
| 1/2 IPE600 O430X15 | 519 | 418 | 26 | 773 | 663 | 56 | 895 | 782 | 98 | 977 | 838 | 139 |
| 1/2 IPE600 O430X20 | 488 | 411 | 26 | 752 | 667 | 55 | 884 | 794 | 97 | 970 | 854 | 139 |

Karakteristieke temperaturen: IFB (2)

| SFB | t = 30 min. | | | | t = 60 min. | | | | t = 90 min. | | | | t = 120 min. | | | |
|----------------|-------------|-----|-----|----|-------------|-----|-----|-----|-------------|-----|-----|-----|--------------|-----|-----|-----|
| | 1 | 2 | 3 | 4 | 1 | 2 | 3 | 4 | 1 | 2 | 3 | 4 | 1 | 2 | 3 | 4 |
| Doorsnede type | | | | | | | | | | | | | | | | |
| HE140B340X10 | 586 | 540 | 499 | 51 | 825 | 792 | 756 | 131 | 943 | 917 | 869 | 210 | 1004 | 985 | 939 | 294 |
| HE140M350X10 | 557 | 486 | 438 | 58 | 800 | 745 | 700 | 152 | 930 | 876 | 833 | 253 | 1000 | 965 | 910 | 354 |
| HE140M350X15 | 523 | 468 | 425 | 55 | 780 | 735 | 694 | 148 | 919 | 873 | 835 | 248 | 995 | 963 | 914 | 350 |
| HE140M350X20 | 497 | 451 | 412 | 53 | 762 | 723 | 687 | 144 | 908 | 869 | 834 | 243 | 990 | 961 | 917 | 345 |
| HE160B360X10 | 581 | 531 | 480 | 46 | 821 | 785 | 739 | 119 | 942 | 914 | 858 | 191 | 1004 | 984 | 926 | 263 |
| HE160M370X10 | 553 | 479 | 425 | 49 | 798 | 741 | 690 | 132 | 929 | 874 | 826 | 217 | 1000 | 965 | 902 | 306 |
| HE160M370X15 | 519 | 462 | 413 | 47 | 777 | 730 | 684 | 128 | 917 | 871 | 827 | 213 | 995 | 964 | 906 | 302 |
| HE160M370X20 | 493 | 445 | 400 | 46 | 758 | 718 | 676 | 124 | 905 | 865 | 826 | 208 | 990 | 961 | 910 | 298 |
| HE160M370X25 | 471 | 429 | 389 | 44 | 741 | 706 | 668 | 121 | 893 | 859 | 823 | 204 | 985 | 959 | 912 | 294 |
| HE180B380X10 | 578 | 527 | 472 | 36 | 821 | 785 | 736 | 91 | 943 | 917 | 858 | 151 | 1004 | 987 | 928 | 204 |
| HE180B380X15 | 543 | 501 | 454 | 35 | 801 | 770 | 726 | 88 | 935 | 910 | 860 | 148 | 1001 | 984 | 933 | 201 |
| HE180M390X10 | 551 | 477 | 418 | 40 | 798 | 741 | 687 | 105 | 930 | 878 | 827 | 175 | 1001 | 969 | 903 | 243 |
| HE180M390X15 | 517 | 459 | 405 | 38 | 777 | 730 | 680 | 102 | 918 | 874 | 827 | 171 | 996 | 967 | 907 | 240 |
| HE180M390X20 | 490 | 442 | 393 | 37 | 758 | 717 | 672 | 99 | 906 | 867 | 825 | 168 | 991 | 965 | 910 | 236 |
| HE180M390X25 | 468 | 426 | 381 | 36 | 740 | 705 | 663 | 96 | 894 | 860 | 821 | 164 | 987 | 962 | 912 | 233 |
| HE200B400X10 | 575 | 522 | 464 | 30 | 820 | 784 | 732 | 70 | 943 | 918 | 859 | 121 | 1005 | 988 | 929 | 164 |
| HE200B400X15 | 540 | 497 | 445 | 29 | 800 | 768 | 721 | 68 | 936 | 912 | 860 | 118 | 1001 | 985 | 934 | 162 |
| HE200M410X10 | 549 | 473 | 411 | 33 | 798 | 741 | 683 | 84 | 931 | 881 | 828 | 143 | 1002 | 972 | 905 | 198 |
| HE200M410X15 | 514 | 456 | 398 | 32 | 776 | 729 | 676 | 81 | 919 | 876 | 826 | 141 | 997 | 970 | 909 | 196 |
| HE200M410X20 | 488 | 439 | 386 | 32 | 756 | 716 | 667 | 78 | 906 | 868 | 823 | 138 | 992 | 967 | 911 | 193 |
| HE200M410X25 | 466 | 423 | 374 | 31 | 739 | 703 | 658 | 76 | 894 | 860 | 818 | 135 | 988 | 964 | 912 | 190 |
| HE200M410X30 | 447 | 409 | 364 | 30 | 723 | 691 | 649 | 74 | 882 | 852 | 813 | 132 | 984 | 961 | 913 | 187 |
| HE220B420X10 | 572 | 517 | 456 | 26 | 819 | 782 | 728 | 56 | 944 | 919 | 859 | 96 | 1005 | 989 | 931 | 135 |
| HE220B420X15 | 537 | 493 | 438 | 26 | 799 | 766 | 716 | 54 | 936 | 912 | 859 | 94 | 1002 | 987 | 935 | 133 |
| HE220B420X20 | 508 | 470 | 421 | 25 | 779 | 750 | 704 | 52 | 927 | 904 | 857 | 92 | 998 | 984 | 938 | 131 |
| HE220M430X10 | 546 | 470 | 404 | 29 | 797 | 739 | 679 | 67 | 932 | 883 | 827 | 118 | 1003 | 974 | 907 | 165 |
| HE220M430X15 | 512 | 452 | 391 | 28 | 775 | 728 | 671 | 65 | 919 | 876 | 825 | 116 | 998 | 972 | 910 | 163 |
| HE220M430X20 | 485 | 435 | 379 | 28 | 755 | 714 | 662 | 63 | 906 | 869 | 821 | 113 | 993 | 969 | 912 | 161 |
| HE220M430X25 | 463 | 420 | 367 | 27 | 737 | 701 | 653 | 61 | 893 | 860 | 815 | 111 | 989 | 966 | 913 | 158 |
| HE220M430X30 | 445 | 406 | 357 | 27 | 721 | 689 | 644 | 60 | 881 | 851 | 809 | 108 | 984 | 963 | 913 | 156 |
| HE240B440X10 | 567 | 510 | 441 | 26 | 816 | 776 | 713 | 53 | 943 | 916 | 849 | 92 | 1005 | 988 | 921 | 130 |
| HE240B440X15 | 532 | 486 | 424 | 25 | 795 | 761 | 703 | 52 | 934 | 908 | 849 | 90 | 1002 | 986 | 926 | 128 |
| HE240B440X20 | 504 | 464 | 408 | 25 | 775 | 744 | 691 | 50 | 925 | 899 | 846 | 88 | 998 | 983 | 929 | 126 |
| HE240M450X10 | 532 | 446 | 375 | 27 | 786 | 718 | 653 | 60 | 923 | 863 | 807 | 107 | 1001 | 967 | 895 | 153 |
| HE240M450X15 | 498 | 432 | 365 | 26 | 762 | 708 | 646 | 58 | 907 | 857 | 803 | 105 | 995 | 965 | 897 | 151 |
| HE240M450X20 | 472 | 418 | 355 | 26 | 742 | 696 | 638 | 56 | 892 | 850 | 798 | 102 | 990 | 962 | 898 | 149 |
| HE240M450X25 | 451 | 404 | 345 | 26 | 724 | 685 | 629 | 55 | 879 | 842 | 793 | 100 | 984 | 958 | 898 | 147 |
| HE240M450X30 | 434 | 392 | 337 | 25 | 709 | 673 | 621 | 54 | 867 | 834 | 786 | 98 | 979 | 954 | 897 | 144 |
| HE240M450X35 | 420 | 381 | 329 | 25 | 695 | 663 | 612 | 52 | 856 | 825 | 780 | 96 | 974 | 950 | 895 | 142 |
| HE240M450X40 | 407 | 372 | 322 | 25 | 683 | 653 | 605 | 51 | 846 | 817 | 773 | 94 | 969 | 945 | 892 | 140 |

Karakteristieke temperaturen: SFB

| THQ (1) | t = 30 min. | | | t = 60 min. | | | t = 90 min. | | | t = 120 min. | | |
|------------------------|-------------|-----|-----|-------------|-----|-----|-------------|-----|-----|--------------|-----|-----|
| | 1 | 2 | 3 | 1 | 2 | 3 | 1 | 2 | 3 | 1 | 2 | 3 |
| Doorsnede type | | | | | | | | | | | | |
| THQ150*5-190*12-400*8 | 636 | 645 | 147 | 837 | 793 | 418 | 945 | 881 | 616 | 1007 | 941 | 725 |
| THQ150*5-190*15-400*10 | 624 | 633 | 133 | 830 | 788 | 387 | 940 | 878 | 594 | 1004 | 939 | 708 |
| THQ150*5-190*15-400*8 | 636 | 645 | 140 | 836 | 791 | 395 | 944 | 878 | 598 | 1007 | 938 | 711 |
| THQ150*5-190*20-400*10 | 624 | 633 | 125 | 829 | 787 | 361 | 939 | 874 | 567 | 1003 | 935 | 687 |
| THQ150*5-190*20-400*12 | 612 | 620 | 119 | 824 | 784 | 353 | 936 | 873 | 562 | 1001 | 936 | 684 |
| THQ150*5-190*20-400*8 | 636 | 645 | 131 | 835 | 789 | 369 | 943 | 874 | 571 | 1006 | 935 | 690 |
| THQ150*5-190*25-400*10 | 624 | 633 | 118 | 828 | 785 | 338 | 937 | 870 | 542 | 1002 | 932 | 668 |
| THQ150*5-190*25-400*12 | 612 | 620 | 112 | 823 | 782 | 328 | 934 | 870 | 536 | 1000 | 932 | 664 |
| THQ150*5-190*25-400*15 | 594 | 601 | 105 | 814 | 777 | 317 | 929 | 869 | 529 | 997 | 933 | 660 |
| THQ150*5-190*25-400*8 | 636 | 645 | 124 | 834 | 787 | 347 | 941 | 871 | 547 | 1005 | 931 | 671 |
| THQ150*5-190*30-400*12 | 612 | 620 | 107 | 822 | 781 | 311 | 933 | 867 | 515 | 999 | 930 | 646 |
| THQ150*5-190*30-400*15 | 594 | 601 | 99 | 814 | 776 | 300 | 928 | 866 | 508 | 996 | 930 | 641 |
| THQ150*5-190*35-400*15 | 594 | 601 | 95 | 813 | 774 | 283 | 926 | 864 | 487 | 994 | 927 | 624 |
| THQ150*5-190*35-400*20 | 565 | 567 | 84 | 799 | 765 | 266 | 919 | 862 | 474 | 990 | 928 | 615 |
| THQ150*5-190*40-400*20 | 565 | 567 | 81 | 798 | 764 | 255 | 918 | 860 | 457 | 989 | 926 | 599 |
| THQ150*5-240*12-450*8 | 640 | 654 | 159 | 841 | 796 | 444 | 947 | 884 | 641 | 1009 | 944 | 749 |
| THQ150*5-240*15-450*10 | 628 | 643 | 143 | 834 | 791 | 413 | 943 | 880 | 618 | 1006 | 942 | 730 |
| THQ150*5-240*15-450*8 | 640 | 654 | 150 | 840 | 794 | 422 | 946 | 881 | 623 | 1008 | 941 | 734 |
| THQ150*5-240*20-450*10 | 628 | 643 | 132 | 833 | 788 | 379 | 941 | 875 | 587 | 1005 | 937 | 706 |
| THQ150*5-240*20-450*12 | 616 | 631 | 125 | 827 | 785 | 370 | 938 | 875 | 582 | 1003 | 937 | 703 |
| THQ150*5-240*25-450*12 | 616 | 631 | 118 | 826 | 783 | 344 | 936 | 871 | 555 | 1002 | 934 | 681 |
| THQ150*5-240*25-450*15 | 598 | 611 | 109 | 818 | 778 | 328 | 932 | 869 | 546 | 999 | 934 | 675 |
| THQ150*5-240*30-450*15 | 598 | 611 | 103 | 817 | 777 | 310 | 930 | 866 | 522 | 997 | 930 | 656 |
| THQ150*5-240*35-450*20 | 569 | 578 | 85 | 802 | 766 | 271 | 922 | 861 | 484 | 992 | 928 | 627 |
| THQ150*5-240*40-450*20 | 569 | 578 | 81 | 801 | 765 | 259 | 920 | 859 | 465 | 990 | 925 | 609 |
| THQ150*5-290*12-500*8 | 642 | 659 | 169 | 843 | 798 | 464 | 949 | 887 | 660 | 1010 | 948 | 767 |
| THQ150*5-290*15-500*10 | 630 | 649 | 151 | 837 | 793 | 432 | 945 | 883 | 635 | 1007 | 945 | 747 |
| THQ150*5-290*15-500*8 | 642 | 659 | 160 | 842 | 796 | 440 | 948 | 884 | 639 | 1009 | 945 | 751 |
| THQ150*5-290*20-500*10 | 630 | 649 | 139 | 835 | 790 | 393 | 943 | 877 | 603 | 1006 | 939 | 721 |
| THQ150*5-290*20-500*12 | 618 | 637 | 132 | 830 | 787 | 384 | 940 | 876 | 598 | 1004 | 939 | 717 |
| THQ150*5-290*25-500*12 | 618 | 637 | 122 | 829 | 785 | 357 | 938 | 872 | 569 | 1003 | 935 | 693 |
| THQ150*5-290*25-500*15 | 600 | 619 | 113 | 821 | 779 | 339 | 934 | 870 | 558 | 1000 | 935 | 687 |
| THQ150*5-290*30-500*15 | 600 | 619 | 106 | 820 | 778 | 318 | 932 | 866 | 532 | 999 | 931 | 666 |
| THQ150*5-290*30-500*20 | 571 | 585 | 92 | 806 | 768 | 294 | 926 | 863 | 516 | 995 | 931 | 656 |
| THQ150*5-290*35-500*20 | 571 | 585 | 87 | 805 | 766 | 276 | 924 | 860 | 492 | 993 | 927 | 635 |
| THQ150*5-290*40-500*25 | 544 | 552 | 73 | 790 | 754 | 242 | 916 | 855 | 454 | 988 | 924 | 605 |

Karakteristieke temperaturen: THQ (1)

| THQ (2) | t = 30 min. | | | t = 60 min. | | | t = 90 min. | | | t = 120 min. | | |
|------------------------|-------------|-----|-----|-------------|-----|-----|-------------|-----|-----|--------------|-----|-----|
| | 1 | 2 | 3 | 1 | 2 | 3 | 1 | 2 | 3 | 1 | 2 | 3 |
| Doorsnede type | | | | | | | | | | | | |
| THQ180*5-190*12-400*8 | 635 | 643 | 132 | 835 | 787 | 366 | 942 | 871 | 567 | 1005 | 931 | 684 |
| THQ180*5-190*15-400*10 | 623 | 631 | 120 | 828 | 783 | 336 | 938 | 868 | 543 | 1002 | 930 | 667 |
| THQ180*5-190*15-400*8 | 635 | 643 | 126 | 834 | 786 | 348 | 941 | 869 | 549 | 1005 | 929 | 670 |
| THQ180*5-190*20-400*10 | 623 | 631 | 111 | 828 | 782 | 313 | 936 | 865 | 516 | 1001 | 927 | 646 |
| THQ180*5-190*20-400*12 | 611 | 618 | 106 | 822 | 779 | 305 | 933 | 865 | 512 | 999 | 927 | 643 |
| THQ180*5-190*20-400*8 | 635 | 643 | 117 | 834 | 784 | 320 | 940 | 866 | 521 | 1004 | 926 | 648 |
| THQ180*5-190*25-400*10 | 623 | 631 | 105 | 827 | 781 | 293 | 935 | 863 | 492 | 1000 | 924 | 625 |
| THQ180*5-190*25-400*12 | 611 | 618 | 99 | 822 | 778 | 282 | 932 | 862 | 486 | 998 | 924 | 622 |
| THQ180*5-190*25-400*15 | 594 | 599 | 91 | 813 | 773 | 271 | 927 | 862 | 478 | 995 | 925 | 617 |
| THQ180*5-190*30-400*12 | 611 | 619 | 93 | 821 | 777 | 267 | 931 | 860 | 465 | 997 | 921 | 603 |
| THQ180*5-190*30-400*15 | 593 | 599 | 86 | 813 | 773 | 257 | 926 | 860 | 457 | 994 | 922 | 598 |
| THQ180*5-190*35-400*15 | 594 | 599 | 81 | 813 | 772 | 242 | 925 | 858 | 437 | 993 | 920 | 579 |
| THQ180*5-190*35-400*20 | 565 | 566 | 72 | 799 | 762 | 227 | 918 | 857 | 424 | 988 | 921 | 570 |
| THQ180*5-190*40-400*20 | 565 | 566 | 69 | 799 | 762 | 217 | 917 | 856 | 407 | 987 | 919 | 552 |
| THQ180*5-240*12-450*8 | 639 | 652 | 146 | 839 | 789 | 400 | 945 | 875 | 601 | 1007 | 935 | 713 |
| THQ180*5-240*15-450*10 | 627 | 641 | 131 | 832 | 785 | 370 | 941 | 871 | 577 | 1004 | 933 | 695 |
| THQ180*5-240*15-450*8 | 639 | 651 | 138 | 838 | 788 | 377 | 944 | 872 | 581 | 1007 | 933 | 698 |
| THQ180*5-240*20-450*10 | 627 | 640 | 121 | 831 | 783 | 338 | 939 | 867 | 545 | 1003 | 929 | 672 |
| THQ180*5-240*20-450*12 | 615 | 629 | 114 | 826 | 781 | 328 | 936 | 867 | 540 | 1001 | 929 | 668 |
| THQ180*5-240*25-450*12 | 615 | 629 | 107 | 825 | 780 | 307 | 935 | 863 | 513 | 1000 | 926 | 646 |
| THQ180*5-240*25-450*15 | 597 | 610 | 98 | 817 | 775 | 291 | 930 | 862 | 504 | 997 | 926 | 641 |
| THQ180*5-240*30-450*15 | 597 | 610 | 91 | 816 | 774 | 272 | 929 | 860 | 478 | 996 | 923 | 619 |
| THQ180*5-240*35-450*15 | 597 | 610 | 86 | 816 | 773 | 258 | 928 | 858 | 457 | 995 | 920 | 600 |
| THQ180*5-240*35-450*20 | 568 | 576 | 75 | 802 | 764 | 238 | 921 | 856 | 442 | 990 | 920 | 589 |
| THQ180*5-240*40-450*20 | 568 | 576 | 72 | 802 | 763 | 227 | 920 | 854 | 423 | 989 | 918 | 570 |
| THQ180*5-240*40-450*25 | 542 | 544 | 64 | 788 | 752 | 210 | 913 | 852 | 408 | 985 | 918 | 559 |
| THQ180*5-290*12-500*8 | 641 | 657 | 157 | 842 | 792 | 429 | 947 | 878 | 627 | 1009 | 939 | 737 |
| THQ180*5-290*15-500*10 | 629 | 647 | 140 | 835 | 787 | 392 | 943 | 874 | 600 | 1006 | 936 | 716 |
| THQ180*5-290*15-500*8 | 641 | 657 | 148 | 841 | 790 | 405 | 946 | 875 | 606 | 1008 | 936 | 720 |
| THQ180*5-290*20-500*10 | 629 | 647 | 129 | 834 | 785 | 360 | 941 | 869 | 568 | 1005 | 932 | 691 |
| THQ180*5-290*20-500*12 | 618 | 635 | 122 | 829 | 782 | 350 | 938 | 868 | 562 | 1003 | 932 | 687 |
| THQ180*5-290*25-500*12 | 618 | 635 | 113 | 828 | 780 | 322 | 937 | 864 | 532 | 1002 | 928 | 664 |
| THQ180*5-290*25-500*15 | 600 | 617 | 104 | 820 | 776 | 310 | 933 | 863 | 523 | 999 | 928 | 658 |
| THQ180*5-290*30-500*15 | 600 | 617 | 96 | 819 | 774 | 285 | 931 | 860 | 495 | 997 | 924 | 635 |
| THQ180*5-290*30-500*20 | 571 | 584 | 84 | 806 | 765 | 265 | 925 | 858 | 480 | 993 | 924 | 625 |
| THQ180*5-290*35-500*20 | 571 | 584 | 78 | 805 | 764 | 249 | 923 | 855 | 456 | 992 | 921 | 604 |
| THQ180*5-290*40-500*20 | 571 | 584 | 74 | 805 | 764 | 234 | 922 | 853 | 435 | 991 | 918 | 583 |
| THQ180*5-290*40-500*25 | 544 | 550 | 66 | 791 | 752 | 218 | 916 | 851 | 419 | 987 | 917 | 572 |

Karakteristieke temperaturen: THQ (2)

| THQ (3) | t = 30 min. | | | t = 60 min. | | | t = 90 min. | | | t = 120 min. | | |
|------------------------|-------------|-----|-----|-------------|-----|-----|-------------|-----|-----|--------------|-----|-----|
| | 1 | 2 | 3 | 1 | 2 | 3 | 1 | 2 | 3 | 1 | 2 | 3 |
| Doorsnede type | | | | | | | | | | | | |
| THQ200*5-190*20-400*10 | 623 | 630 | 104 | 827 | 779 | 285 | 935 | 861 | 484 | 1000 | 921 | 618 |
| THQ200*5-190*20-400*12 | 611 | 617 | 98 | 821 | 776 | 276 | 931 | 860 | 479 | 997 | 922 | 615 |
| THQ200*5-190*25-400*10 | 623 | 630 | 97 | 826 | 779 | 266 | 934 | 858 | 460 | 999 | 918 | 597 |
| THQ200*5-190*25-400*12 | 611 | 617 | 91 | 821 | 776 | 259 | 930 | 858 | 456 | 997 | 919 | 594 |
| THQ200*5-240*20-450*12 | 614 | 627 | 109 | 825 | 778 | 307 | 935 | 862 | 514 | 1000 | 925 | 646 |
| THQ200*5-240*25-450*12 | 614 | 628 | 100 | 824 | 777 | 282 | 933 | 859 | 485 | 999 | 921 | 623 |
| THQ200*5-240*25-450*15 | 597 | 609 | 92 | 816 | 773 | 270 | 929 | 858 | 477 | 996 | 922 | 617 |
| THQ200*5-240*30-450*15 | 597 | 609 | 85 | 816 | 772 | 252 | 928 | 856 | 452 | 995 | 918 | 596 |
| THQ200*5-290*30-500*15 | 599 | 616 | 91 | 819 | 773 | 268 | 931 | 856 | 473 | 997 | 920 | 616 |
| THQ200*5-290*30-500*20 | 570 | 583 | 79 | 805 | 763 | 248 | 924 | 854 | 457 | 992 | 920 | 605 |
| THQ200*5-290*35-500*20 | 571 | 583 | 74 | 805 | 763 | 232 | 923 | 852 | 434 | 991 | 917 | 583 |
| THQ265*6-190*20-400*10 | 616 | 624 | 85 | 820 | 771 | 221 | 928 | 849 | 398 | 995 | 907 | 534 |
| THQ265*6-190*20-400*12 | 603 | 611 | 80 | 814 | 769 | 215 | 924 | 849 | 393 | 992 | 907 | 531 |
| THQ265*6-190*25-400*10 | 616 | 624 | 79 | 820 | 771 | 205 | 927 | 848 | 376 | 994 | 905 | 514 |
| THQ265*6-190*25-400*12 | 603 | 611 | 74 | 814 | 768 | 200 | 923 | 848 | 372 | 991 | 905 | 510 |
| THQ265*6-240*20-450*12 | 607 | 622 | 92 | 818 | 771 | 246 | 928 | 850 | 437 | 995 | 910 | 576 |
| THQ265*6-240*25-450*12 | 607 | 622 | 84 | 818 | 770 | 229 | 927 | 849 | 413 | 994 | 908 | 553 |
| THQ265*6-240*25-450*15 | 590 | 603 | 77 | 810 | 766 | 219 | 922 | 848 | 404 | 991 | 908 | 547 |
| THQ265*6-240*30-450*15 | 590 | 603 | 72 | 810 | 766 | 203 | 921 | 847 | 382 | 990 | 906 | 526 |
| THQ265*6-290*30-500*15 | 593 | 612 | 79 | 813 | 767 | 224 | 925 | 847 | 411 | 992 | 908 | 555 |
| THQ265*6-290*30-500*20 | 564 | 578 | 69 | 800 | 758 | 206 | 917 | 846 | 395 | 988 | 908 | 544 |
| THQ265*6-290*35-500*20 | 564 | 579 | 64 | 800 | 757 | 195 | 917 | 845 | 375 | 987 | 906 | 523 |
| THQ320*8-190*20-400*12 | 592 | 603 | 70 | 805 | 761 | 182 | 914 | 842 | 334 | 986 | 898 | 468 |
| THQ320*8-190*25-400*12 | 592 | 603 | 65 | 805 | 761 | 172 | 913 | 841 | 316 | 985 | 897 | 449 |
| THQ320*8-190*25-400*15 | 575 | 583 | 60 | 797 | 756 | 167 | 907 | 841 | 309 | 981 | 898 | 444 |
| THQ320*8-190*30-400*12 | 592 | 603 | 61 | 805 | 761 | 164 | 913 | 841 | 300 | 985 | 896 | 432 |
| THQ320*8-240*25-450*12 | 596 | 617 | 74 | 809 | 764 | 196 | 918 | 842 | 359 | 988 | 899 | 498 |
| THQ320*8-240*25-450*15 | 579 | 597 | 68 | 801 | 760 | 189 | 912 | 842 | 352 | 984 | 900 | 493 |
| THQ320*8-240*30-450*15 | 579 | 597 | 64 | 801 | 759 | 179 | 912 | 841 | 333 | 984 | 898 | 473 |
| THQ320*8-240*30-450*15 | 579 | 597 | 64 | 801 | 759 | 179 | 912 | 841 | 333 | 984 | 898 | 473 |
| THQ320*8-290*30-500*15 | 581 | 607 | 70 | 804 | 761 | 196 | 916 | 841 | 365 | 986 | 900 | 508 |
| THQ320*8-290*30-500*20 | 554 | 573 | 62 | 790 | 752 | 183 | 908 | 840 | 350 | 981 | 900 | 497 |
| THQ320*8-290*35-500*20 | 555 | 574 | 58 | 790 | 752 | 174 | 907 | 839 | 331 | 981 | 898 | 477 |

Karakteristieke temperaturen: THQ (3)

B Tabellen met plastische weerstandsmomenten

- IFB(1)
- IFB(2)
- SFB
- THQ(1)
- THQ(2)
- THQ(3)

| IFB (1) | t = 30 min. | | | t = 60 min. | | | t = 90 min. | | | t = 120 min. | | |
|-------------------|-------------|-----|-----|-------------|-----|-----|-------------|-----|-----|--------------|-----|-----|
| | 1 | 2 | 3 | 1 | 2 | 3 | 1 | 2 | 3 | 1 | 2 | 3 |
| Doorsnede type | | | | | | | | | | | | |
| 1/2 HE220M 430X15 | 524 | 413 | 110 | 768 | 646 | 259 | 889 | 771 | 408 | 979 | 837 | 516 |
| 1/2 HE240M 450X20 | 487 | 391 | 92 | 740 | 632 | 228 | 868 | 763 | 367 | 963 | 833 | 478 |
| 1/2 HE260B 460X12 | 565 | 455 | 86 | 803 | 687 | 201 | 921 | 794 | 310 | 993 | 849 | 404 |
| 1/2 HE260M 470X20 | 488 | 391 | 82 | 743 | 632 | 206 | 870 | 761 | 330 | 964 | 828 | 437 |
| 1/2 HE280M 490X20 | 490 | 390 | 74 | 746 | 632 | 187 | 874 | 760 | 299 | 966 | 825 | 400 |
| 1/2 HE280M 490X25 | 462 | 383 | 71 | 726 | 634 | 183 | 863 | 770 | 296 | 958 | 838 | 398 |
| 1/2 HE300B 500X15 | 541 | 441 | 69 | 791 | 683 | 170 | 915 | 796 | 265 | 989 | 851 | 346 |
| 1/2 HE300M 510X25 | 458 | 371 | 64 | 720 | 618 | 167 | 856 | 753 | 272 | 952 | 822 | 370 |
| 1/2 HE320B 500X15 | 538 | 433 | 65 | 788 | 674 | 160 | 912 | 789 | 251 | 987 | 844 | 330 |
| 1/2 HE320M 510X25 | 456 | 367 | 60 | 718 | 614 | 159 | 854 | 749 | 261 | 950 | 819 | 356 |
| 1/2 HE320M 510X30 | 433 | 361 | 58 | 700 | 614 | 155 | 843 | 756 | 257 | 943 | 829 | 353 |
| 1/2 HE340B 500X15 | 538 | 433 | 58 | 788 | 675 | 145 | 912 | 789 | 229 | 987 | 844 | 303 |
| 1/2 HE340M 510X25 | 456 | 367 | 56 | 718 | 615 | 149 | 854 | 750 | 245 | 950 | 820 | 336 |
| 1/2 HE340M 510X30 | 432 | 361 | 54 | 700 | 615 | 145 | 844 | 757 | 241 | 943 | 830 | 334 |
| 1/2 HE360B 500X15 | 535 | 426 | 55 | 785 | 666 | 139 | 909 | 783 | 220 | 986 | 838 | 293 |
| 1/2 HE360M 510X20 | 483 | 372 | 54 | 739 | 612 | 143 | 866 | 741 | 234 | 959 | 808 | 319 |
| 1/2 HE360M 510X25 | 455 | 367 | 52 | 719 | 616 | 139 | 855 | 751 | 231 | 951 | 820 | 318 |
| 1/2 HE360M 510X30 | 432 | 361 | 50 | 701 | 616 | 136 | 844 | 758 | 227 | 944 | 830 | 315 |
| 1/2 HE400B 500X20 | 497 | 411 | 46 | 760 | 663 | 119 | 892 | 790 | 195 | 977 | 849 | 263 |
| 1/2 HE400M 510X25 | 454 | 367 | 45 | 719 | 617 | 122 | 856 | 753 | 204 | 951 | 821 | 283 |
| 1/2 HE400M 510X30 | 431 | 361 | 44 | 701 | 617 | 118 | 845 | 759 | 200 | 944 | 831 | 281 |
| 1/2 HE450B 500X20 | 494 | 404 | 39 | 757 | 657 | 100 | 889 | 785 | 168 | 975 | 844 | 229 |
| 1/2 HE450M 510X25 | 454 | 367 | 39 | 719 | 618 | 103 | 857 | 755 | 176 | 952 | 823 | 246 |
| 1/2 HE450M 510X30 | 431 | 360 | 38 | 701 | 617 | 100 | 846 | 761 | 173 | 945 | 833 | 244 |
| 1/2 HE500A 500X20 | 497 | 415 | 32 | 762 | 670 | 78 | 897 | 798 | 134 | 979 | 857 | 184 |
| 1/2 HE500B 500X20 | 490 | 399 | 34 | 754 | 650 | 85 | 886 | 780 | 145 | 973 | 840 | 201 |
| 1/2 HE500M 510X25 | 453 | 366 | 34 | 719 | 618 | 87 | 857 | 756 | 152 | 953 | 824 | 215 |
| 1/2 HE500M 510X30 | 430 | 360 | 33 | 701 | 618 | 85 | 847 | 762 | 150 | 946 | 834 | 213 |
| 1/2 HE550A 500X20 | 493 | 408 | 29 | 759 | 664 | 68 | 894 | 792 | 118 | 978 | 852 | 164 |
| 1/2 HE550B 500X20 | 489 | 397 | 30 | 754 | 650 | 70 | 886 | 780 | 122 | 974 | 840 | 171 |
| 1/2 HE550B 500X25 | 461 | 389 | 29 | 733 | 650 | 68 | 875 | 788 | 120 | 967 | 853 | 169 |
| 1/2 HE550M 510X25 | 452 | 365 | 30 | 719 | 618 | 74 | 858 | 757 | 131 | 954 | 825 | 187 |
| 1/2 HE550M 510X30 | 429 | 359 | 29 | 701 | 618 | 72 | 847 | 763 | 129 | 947 | 835 | 185 |
| 1/2 HE550M 510X30 | 429 | 359 | 29 | 701 | 618 | 72 | 847 | 763 | 129 | 947 | 835 | 185 |
| 1/2 HE600A 500X20 | 492 | 407 | 26 | 759 | 663 | 56 | 894 | 793 | 98 | 978 | 852 | 139 |
| 1/2 HE600B 500X20 | 486 | 392 | 27 | 751 | 644 | 61 | 883 | 775 | 107 | 972 | 836 | 152 |
| 1/2 HE600B 500X25 | 458 | 384 | 27 | 730 | 644 | 59 | 872 | 783 | 105 | 965 | 848 | 150 |
| 1/2 HE600M 510X30 | 428 | 358 | 27 | 700 | 618 | 61 | 847 | 763 | 112 | 947 | 836 | 162 |
| 1/2 HE600M 510X35 | 408 | 351 | 26 | 684 | 615 | 60 | 837 | 765 | 109 | 940 | 843 | 160 |
| 1/2 HE650A 500X20 | 488 | 400 | 25 | 756 | 656 | 50 | 890 | 787 | 87 | 976 | 847 | 125 |
| 1/2 HE650B 500X25 | 457 | 382 | 25 | 729 | 644 | 50 | 872 | 783 | 89 | 965 | 848 | 130 |
| 1/2 HE650M 510X25 | 449 | 363 | 25 | 718 | 618 | 54 | 858 | 758 | 98 | 954 | 827 | 143 |
| 1/2 HE650M 510X30 | 426 | 357 | 25 | 700 | 617 | 53 | 847 | 763 | 96 | 947 | 836 | 142 |
| 1/2 HE650M 510X35 | 407 | 350 | 25 | 684 | 615 | 52 | 837 | 766 | 94 | 941 | 844 | 140 |

Karakteristieke temperatuuren: IFB (1)

| IFB (2) | t = 30 min. | | | t = 60 min. | | | t = 90 min. | | | t = 120 min. | | |
|--------------------|-------------|-----|----|-------------|-----|-----|-------------|-----|-----|--------------|-----|-----|
| Doorsnede type | 1 | 2 | 3 | 1 | 2 | 3 | 1 | 2 | 3 | 1 | 2 | 3 |
| 1/2 IPE400 380X10 | 579 | 484 | 38 | 811 | 715 | 94 | 924 | 812 | 151 | 993 | 864 | 203 |
| 1/2 IPE400 O390X12 | 560 | 469 | 40 | 799 | 707 | 100 | 917 | 809 | 161 | 988 | 863 | 218 |
| 1/2 IPE450 390X12 | 558 | 468 | 34 | 799 | 707 | 80 | 917 | 810 | 134 | 989 | 863 | 180 |
| 1/2 IPE450 O400X12 | 555 | 458 | 34 | 796 | 695 | 84 | 914 | 801 | 139 | 987 | 854 | 189 |
| 1/2 IPE500 400X12 | 554 | 456 | 30 | 796 | 695 | 70 | 914 | 801 | 118 | 987 | 854 | 162 |
| 1/2 IPE500 O410X15 | 529 | 443 | 30 | 782 | 689 | 72 | 904 | 803 | 122 | 982 | 858 | 168 |
| 1/2 IPE550 410X15 | 531 | 450 | 26 | 786 | 699 | 55 | 909 | 811 | 94 | 984 | 866 | 132 |
| 1/2 IPE550 O420X15 | 526 | 434 | 28 | 779 | 680 | 62 | 901 | 796 | 107 | 981 | 851 | 149 |
| 1/2 IPE600 420X15 | 527 | 440 | 25 | 783 | 689 | 49 | 906 | 803 | 84 | 983 | 858 | 120 |
| 1/2 IPE600 O430X15 | 519 | 418 | 26 | 773 | 663 | 56 | 895 | 782 | 98 | 977 | 838 | 139 |
| 1/2 IPE600 O430X20 | 488 | 411 | 26 | 752 | 667 | 55 | 884 | 794 | 97 | 970 | 854 | 139 |

Karakteristieke temperaturen: IFB (2)

| SFB | t = 30 min. | | | | t = 60 min. | | | | t = 90 min. | | | | t = 120 min. | | | |
|----------------|-------------|-----|-----|----|-------------|-----|-----|-----|-------------|-----|-----|-----|--------------|-----|-----|-----|
| | 1 | 2 | 3 | 4 | 1 | 2 | 3 | 4 | 1 | 2 | 3 | 4 | 1 | 2 | 3 | 4 |
| Doorsnede type | | | | | | | | | | | | | | | | |
| HE140B340X10 | 586 | 540 | 499 | 51 | 825 | 792 | 756 | 131 | 943 | 917 | 869 | 210 | 1004 | 985 | 939 | 294 |
| HE140M350X10 | 557 | 486 | 438 | 58 | 800 | 745 | 700 | 152 | 930 | 876 | 833 | 253 | 1000 | 965 | 910 | 354 |
| HE140M350X15 | 523 | 468 | 425 | 55 | 780 | 735 | 694 | 148 | 919 | 873 | 835 | 248 | 995 | 963 | 914 | 350 |
| HE140M350X20 | 497 | 451 | 412 | 53 | 762 | 723 | 687 | 144 | 908 | 869 | 834 | 243 | 990 | 961 | 917 | 345 |
| HE160B360X10 | 581 | 531 | 480 | 46 | 821 | 785 | 739 | 119 | 942 | 914 | 858 | 191 | 1004 | 984 | 926 | 263 |
| HE160M370X10 | 553 | 479 | 425 | 49 | 798 | 741 | 690 | 132 | 929 | 874 | 826 | 217 | 1000 | 965 | 902 | 306 |
| HE160M370X15 | 519 | 462 | 413 | 47 | 777 | 730 | 684 | 128 | 917 | 871 | 827 | 213 | 995 | 964 | 906 | 302 |
| HE160M370X20 | 493 | 445 | 400 | 46 | 758 | 718 | 676 | 124 | 905 | 865 | 826 | 208 | 990 | 961 | 910 | 298 |
| HE160M370X25 | 471 | 429 | 389 | 44 | 741 | 706 | 668 | 121 | 893 | 859 | 823 | 204 | 985 | 959 | 912 | 294 |
| HE180B380X10 | 578 | 527 | 472 | 36 | 821 | 785 | 736 | 91 | 943 | 917 | 858 | 151 | 1004 | 987 | 928 | 204 |
| HE180B380X15 | 543 | 501 | 454 | 35 | 801 | 770 | 726 | 88 | 935 | 910 | 860 | 148 | 1001 | 984 | 933 | 201 |
| HE180M390X10 | 551 | 477 | 418 | 40 | 798 | 741 | 687 | 105 | 930 | 878 | 827 | 175 | 1001 | 969 | 903 | 243 |
| HE180M390X15 | 517 | 459 | 405 | 38 | 777 | 730 | 680 | 102 | 918 | 874 | 827 | 171 | 996 | 967 | 907 | 240 |
| HE180M390X20 | 490 | 442 | 393 | 37 | 758 | 717 | 672 | 99 | 906 | 867 | 825 | 168 | 991 | 965 | 910 | 236 |
| HE180M390X25 | 468 | 426 | 381 | 36 | 740 | 705 | 663 | 96 | 894 | 860 | 821 | 164 | 987 | 962 | 912 | 233 |
| HE200B400X10 | 575 | 522 | 464 | 30 | 820 | 784 | 732 | 70 | 943 | 918 | 859 | 121 | 1005 | 988 | 929 | 164 |
| HE200B400X15 | 540 | 497 | 445 | 29 | 800 | 768 | 721 | 68 | 936 | 912 | 860 | 118 | 1001 | 985 | 934 | 162 |
| HE200M410X10 | 549 | 473 | 411 | 33 | 798 | 741 | 683 | 84 | 931 | 881 | 828 | 143 | 1002 | 972 | 905 | 198 |
| HE200M410X15 | 514 | 456 | 398 | 32 | 776 | 729 | 676 | 81 | 919 | 876 | 826 | 141 | 997 | 970 | 909 | 196 |
| HE200M410X20 | 488 | 439 | 386 | 32 | 756 | 716 | 667 | 78 | 906 | 868 | 823 | 138 | 992 | 967 | 911 | 193 |
| HE200M410X25 | 466 | 423 | 374 | 31 | 739 | 703 | 658 | 76 | 894 | 860 | 818 | 135 | 988 | 964 | 912 | 190 |
| HE200M410X30 | 447 | 409 | 364 | 30 | 723 | 691 | 649 | 74 | 882 | 852 | 813 | 132 | 984 | 961 | 913 | 187 |
| HE220B420X10 | 572 | 517 | 456 | 26 | 819 | 782 | 728 | 56 | 944 | 919 | 859 | 96 | 1005 | 989 | 931 | 135 |
| HE220B420X15 | 537 | 493 | 438 | 26 | 799 | 766 | 716 | 54 | 936 | 912 | 859 | 94 | 1002 | 987 | 935 | 133 |
| HE220B420X20 | 508 | 470 | 421 | 25 | 779 | 750 | 704 | 52 | 927 | 904 | 857 | 92 | 998 | 984 | 938 | 131 |
| HE220M430X10 | 546 | 470 | 404 | 29 | 797 | 739 | 679 | 67 | 932 | 883 | 827 | 118 | 1003 | 974 | 907 | 165 |
| HE220M430X15 | 512 | 452 | 391 | 28 | 775 | 728 | 671 | 65 | 919 | 876 | 825 | 116 | 998 | 972 | 910 | 163 |
| HE220M430X20 | 485 | 435 | 379 | 28 | 755 | 714 | 662 | 63 | 906 | 869 | 821 | 113 | 993 | 969 | 912 | 161 |
| HE220M430X25 | 463 | 420 | 367 | 27 | 737 | 701 | 653 | 61 | 893 | 860 | 815 | 111 | 989 | 966 | 913 | 158 |
| HE220M430X30 | 445 | 406 | 357 | 27 | 721 | 689 | 644 | 60 | 881 | 851 | 809 | 108 | 984 | 963 | 913 | 156 |
| HE240B440X10 | 567 | 510 | 441 | 26 | 816 | 776 | 713 | 53 | 943 | 916 | 849 | 92 | 1005 | 988 | 921 | 130 |
| HE240B440X15 | 532 | 486 | 424 | 25 | 795 | 761 | 703 | 52 | 934 | 908 | 849 | 90 | 1002 | 986 | 926 | 128 |
| HE240B440X20 | 504 | 464 | 408 | 25 | 775 | 744 | 691 | 50 | 925 | 899 | 846 | 88 | 998 | 983 | 929 | 126 |
| HE240M450X10 | 532 | 446 | 375 | 27 | 786 | 718 | 653 | 60 | 923 | 863 | 807 | 107 | 1001 | 967 | 895 | 153 |
| HE240M450X15 | 498 | 432 | 365 | 26 | 762 | 708 | 646 | 58 | 907 | 857 | 803 | 105 | 995 | 965 | 897 | 151 |
| HE240M450X20 | 472 | 418 | 355 | 26 | 742 | 696 | 638 | 56 | 892 | 850 | 798 | 102 | 990 | 962 | 898 | 149 |
| HE240M450X25 | 451 | 404 | 345 | 26 | 724 | 685 | 629 | 55 | 879 | 842 | 793 | 100 | 984 | 958 | 898 | 147 |
| HE240M450X30 | 434 | 392 | 337 | 25 | 709 | 673 | 621 | 54 | 867 | 834 | 786 | 98 | 979 | 954 | 897 | 144 |
| HE240M450X35 | 420 | 381 | 329 | 25 | 695 | 663 | 612 | 52 | 856 | 825 | 780 | 96 | 974 | 950 | 895 | 142 |
| HE240M450X40 | 407 | 372 | 322 | 25 | 683 | 653 | 605 | 51 | 846 | 817 | 773 | 94 | 969 | 945 | 892 | 140 |

Karakteristieke temperaturen: SFB

| THQ (1) | t = 30 min. | | | t = 60 min. | | | t = 90 min. | | | t = 120 min. | | |
|------------------------|-------------|-----|-----|-------------|-----|-----|-------------|-----|-----|--------------|-----|-----|
| | 1 | 2 | 3 | 1 | 2 | 3 | 1 | 2 | 3 | 1 | 2 | 3 |
| Doorsnede type | | | | | | | | | | | | |
| THQ150*5-190*12-400*8 | 636 | 645 | 147 | 837 | 793 | 418 | 945 | 881 | 616 | 1007 | 941 | 725 |
| THQ150*5-190*15-400*10 | 624 | 633 | 133 | 830 | 788 | 387 | 940 | 878 | 594 | 1004 | 939 | 708 |
| THQ150*5-190*15-400*8 | 636 | 645 | 140 | 836 | 791 | 395 | 944 | 878 | 598 | 1007 | 938 | 711 |
| THQ150*5-190*20-400*10 | 624 | 633 | 125 | 829 | 787 | 361 | 939 | 874 | 567 | 1003 | 935 | 687 |
| THQ150*5-190*20-400*12 | 612 | 620 | 119 | 824 | 784 | 353 | 936 | 873 | 562 | 1001 | 936 | 684 |
| THQ150*5-190*20-400*8 | 636 | 645 | 131 | 835 | 789 | 369 | 943 | 874 | 571 | 1006 | 935 | 690 |
| THQ150*5-190*25-400*10 | 624 | 633 | 118 | 828 | 785 | 338 | 937 | 870 | 542 | 1002 | 932 | 668 |
| THQ150*5-190*25-400*12 | 612 | 620 | 112 | 823 | 782 | 328 | 934 | 870 | 536 | 1000 | 932 | 664 |
| THQ150*5-190*25-400*15 | 594 | 601 | 105 | 814 | 777 | 317 | 929 | 869 | 529 | 997 | 933 | 660 |
| THQ150*5-190*25-400*8 | 636 | 645 | 124 | 834 | 787 | 347 | 941 | 871 | 547 | 1005 | 931 | 671 |
| THQ150*5-190*30-400*12 | 612 | 620 | 107 | 822 | 781 | 311 | 933 | 867 | 515 | 999 | 930 | 646 |
| THQ150*5-190*30-400*15 | 594 | 601 | 99 | 814 | 776 | 300 | 928 | 866 | 508 | 996 | 930 | 641 |
| THQ150*5-190*35-400*15 | 594 | 601 | 95 | 813 | 774 | 283 | 926 | 864 | 487 | 994 | 927 | 624 |
| THQ150*5-190*35-400*20 | 565 | 567 | 84 | 799 | 765 | 266 | 919 | 862 | 474 | 990 | 928 | 615 |
| THQ150*5-190*40-400*20 | 565 | 567 | 81 | 798 | 764 | 255 | 918 | 860 | 457 | 989 | 926 | 599 |
| THQ150*5-240*12-450*8 | 640 | 654 | 159 | 841 | 796 | 444 | 947 | 884 | 641 | 1009 | 944 | 749 |
| THQ150*5-240*15-450*10 | 628 | 643 | 143 | 834 | 791 | 413 | 943 | 880 | 618 | 1006 | 942 | 730 |
| THQ150*5-240*15-450*8 | 640 | 654 | 150 | 840 | 794 | 422 | 946 | 881 | 623 | 1008 | 941 | 734 |
| THQ150*5-240*20-450*10 | 628 | 643 | 132 | 833 | 788 | 379 | 941 | 875 | 587 | 1005 | 937 | 706 |
| THQ150*5-240*20-450*12 | 616 | 631 | 125 | 827 | 785 | 370 | 938 | 875 | 582 | 1003 | 937 | 703 |
| THQ150*5-240*25-450*12 | 616 | 631 | 118 | 826 | 783 | 344 | 936 | 871 | 555 | 1002 | 934 | 681 |
| THQ150*5-240*25-450*15 | 598 | 611 | 109 | 818 | 778 | 328 | 932 | 869 | 546 | 999 | 934 | 675 |
| THQ150*5-240*30-450*15 | 598 | 611 | 103 | 817 | 777 | 310 | 930 | 866 | 522 | 997 | 930 | 656 |
| THQ150*5-240*35-450*20 | 569 | 578 | 85 | 802 | 766 | 271 | 922 | 861 | 484 | 992 | 928 | 627 |
| THQ150*5-240*40-450*20 | 569 | 578 | 81 | 801 | 765 | 259 | 920 | 859 | 465 | 990 | 925 | 609 |
| THQ150*5-290*12-500*8 | 642 | 659 | 169 | 843 | 798 | 464 | 949 | 887 | 660 | 1010 | 948 | 767 |
| THQ150*5-290*15-500*10 | 630 | 649 | 151 | 837 | 793 | 432 | 945 | 883 | 635 | 1007 | 945 | 747 |
| THQ150*5-290*15-500*8 | 642 | 659 | 160 | 842 | 796 | 440 | 948 | 884 | 639 | 1009 | 945 | 751 |
| THQ150*5-290*20-500*10 | 630 | 649 | 139 | 835 | 790 | 393 | 943 | 877 | 603 | 1006 | 939 | 721 |
| THQ150*5-290*20-500*12 | 618 | 637 | 132 | 830 | 787 | 384 | 940 | 876 | 598 | 1004 | 939 | 717 |
| THQ150*5-290*25-500*12 | 618 | 637 | 122 | 829 | 785 | 357 | 938 | 872 | 569 | 1003 | 935 | 693 |
| THQ150*5-290*25-500*15 | 600 | 619 | 113 | 821 | 779 | 339 | 934 | 870 | 558 | 1000 | 935 | 687 |
| THQ150*5-290*30-500*15 | 600 | 619 | 106 | 820 | 778 | 318 | 932 | 866 | 532 | 999 | 931 | 666 |
| THQ150*5-290*30-500*20 | 571 | 585 | 92 | 806 | 768 | 294 | 926 | 863 | 516 | 995 | 931 | 656 |
| THQ150*5-290*35-500*20 | 571 | 585 | 87 | 805 | 766 | 276 | 924 | 860 | 492 | 993 | 927 | 635 |
| THQ150*5-290*40-500*25 | 544 | 552 | 73 | 790 | 754 | 242 | 916 | 855 | 454 | 988 | 924 | 605 |

Karakteristieke temperaturen: THQ (1)

| THQ (2) | t = 30 min. | | | t = 60 min. | | | t = 90 min. | | | t = 120 min. | | |
|------------------------|-------------|-----|-----|-------------|-----|-----|-------------|-----|-----|--------------|-----|-----|
| | 1 | 2 | 3 | 1 | 2 | 3 | 1 | 2 | 3 | 1 | 2 | 3 |
| Doorsnede type | | | | | | | | | | | | |
| THQ180*5-190*12-400*8 | 635 | 643 | 132 | 835 | 787 | 366 | 942 | 871 | 567 | 1005 | 931 | 684 |
| THQ180*5-190*15-400*10 | 623 | 631 | 120 | 828 | 783 | 336 | 938 | 868 | 543 | 1002 | 930 | 667 |
| THQ180*5-190*15-400*8 | 635 | 643 | 126 | 834 | 786 | 348 | 941 | 869 | 549 | 1005 | 929 | 670 |
| THQ180*5-190*20-400*10 | 623 | 631 | 111 | 828 | 782 | 313 | 936 | 865 | 516 | 1001 | 927 | 646 |
| THQ180*5-190*20-400*12 | 611 | 618 | 106 | 822 | 779 | 305 | 933 | 865 | 512 | 999 | 927 | 643 |
| THQ180*5-190*20-400*8 | 635 | 643 | 117 | 834 | 784 | 320 | 940 | 866 | 521 | 1004 | 926 | 648 |
| THQ180*5-190*25-400*10 | 623 | 631 | 105 | 827 | 781 | 293 | 935 | 863 | 492 | 1000 | 924 | 625 |
| THQ180*5-190*25-400*12 | 611 | 618 | 99 | 822 | 778 | 282 | 932 | 862 | 486 | 998 | 924 | 622 |
| THQ180*5-190*25-400*15 | 594 | 599 | 91 | 813 | 773 | 271 | 927 | 862 | 478 | 995 | 925 | 617 |
| THQ180*5-190*30-400*12 | 611 | 619 | 93 | 821 | 777 | 267 | 931 | 860 | 465 | 997 | 921 | 603 |
| THQ180*5-190*30-400*15 | 593 | 599 | 86 | 813 | 773 | 257 | 926 | 860 | 457 | 994 | 922 | 598 |
| THQ180*5-190*35-400*15 | 594 | 599 | 81 | 813 | 772 | 242 | 925 | 858 | 437 | 993 | 920 | 579 |
| THQ180*5-190*35-400*20 | 565 | 566 | 72 | 799 | 762 | 227 | 918 | 857 | 424 | 988 | 921 | 570 |
| THQ180*5-190*40-400*20 | 565 | 566 | 69 | 799 | 762 | 217 | 917 | 856 | 407 | 987 | 919 | 552 |
| THQ180*5-240*12-450*8 | 639 | 652 | 146 | 839 | 789 | 400 | 945 | 875 | 601 | 1007 | 935 | 713 |
| THQ180*5-240*15-450*10 | 627 | 641 | 131 | 832 | 785 | 370 | 941 | 871 | 577 | 1004 | 933 | 695 |
| THQ180*5-240*15-450*8 | 639 | 651 | 138 | 838 | 788 | 377 | 944 | 872 | 581 | 1007 | 933 | 698 |
| THQ180*5-240*20-450*10 | 627 | 640 | 121 | 831 | 783 | 338 | 939 | 867 | 545 | 1003 | 929 | 672 |
| THQ180*5-240*20-450*12 | 615 | 629 | 114 | 826 | 781 | 328 | 936 | 867 | 540 | 1001 | 929 | 668 |
| THQ180*5-240*25-450*12 | 615 | 629 | 107 | 825 | 780 | 307 | 935 | 863 | 513 | 1000 | 926 | 646 |
| THQ180*5-240*25-450*15 | 597 | 610 | 98 | 817 | 775 | 291 | 930 | 862 | 504 | 997 | 926 | 641 |
| THQ180*5-240*30-450*15 | 597 | 610 | 91 | 816 | 774 | 272 | 929 | 860 | 478 | 996 | 923 | 619 |
| THQ180*5-240*35-450*15 | 597 | 610 | 86 | 816 | 773 | 258 | 928 | 858 | 457 | 995 | 920 | 600 |
| THQ180*5-240*35-450*20 | 568 | 576 | 75 | 802 | 764 | 238 | 921 | 856 | 442 | 990 | 920 | 589 |
| THQ180*5-240*40-450*20 | 568 | 576 | 72 | 802 | 763 | 227 | 920 | 854 | 423 | 989 | 918 | 570 |
| THQ180*5-240*40-450*25 | 542 | 544 | 64 | 788 | 752 | 210 | 913 | 852 | 408 | 985 | 918 | 559 |
| THQ180*5-290*12-500*8 | 641 | 657 | 157 | 842 | 792 | 429 | 947 | 878 | 627 | 1009 | 939 | 737 |
| THQ180*5-290*15-500*10 | 629 | 647 | 140 | 835 | 787 | 392 | 943 | 874 | 600 | 1006 | 936 | 716 |
| THQ180*5-290*15-500*8 | 641 | 657 | 148 | 841 | 790 | 405 | 946 | 875 | 606 | 1008 | 936 | 720 |
| THQ180*5-290*20-500*10 | 629 | 647 | 129 | 834 | 785 | 360 | 941 | 869 | 568 | 1005 | 932 | 691 |
| THQ180*5-290*20-500*12 | 618 | 635 | 122 | 829 | 782 | 350 | 938 | 868 | 562 | 1003 | 932 | 687 |
| THQ180*5-290*25-500*12 | 618 | 635 | 113 | 828 | 780 | 322 | 937 | 864 | 532 | 1002 | 928 | 664 |
| THQ180*5-290*25-500*15 | 600 | 617 | 104 | 820 | 776 | 310 | 933 | 863 | 523 | 999 | 928 | 658 |
| THQ180*5-290*30-500*15 | 600 | 617 | 96 | 819 | 774 | 285 | 931 | 860 | 495 | 997 | 924 | 635 |
| THQ180*5-290*30-500*20 | 571 | 584 | 84 | 806 | 765 | 265 | 925 | 858 | 480 | 993 | 924 | 625 |
| THQ180*5-290*35-500*20 | 571 | 584 | 78 | 805 | 764 | 249 | 923 | 855 | 456 | 992 | 921 | 604 |
| THQ180*5-290*40-500*20 | 571 | 584 | 74 | 805 | 764 | 234 | 922 | 853 | 435 | 991 | 918 | 583 |
| THQ180*5-290*40-500*25 | 544 | 550 | 66 | 791 | 752 | 218 | 916 | 851 | 419 | 987 | 917 | 572 |

Karakteristieke temperaturen: THQ (2)

| THQ (3) | t = 30 min. | | | t = 60 min. | | | t = 90 min. | | | t = 120 min. | | |
|------------------------|-------------|-----|-----|-------------|-----|-----|-------------|-----|-----|--------------|-----|-----|
| | 1 | 2 | 3 | 1 | 2 | 3 | 1 | 2 | 3 | 1 | 2 | 3 |
| Doorsnede type | | | | | | | | | | | | |
| THQ200*5-190*20-400*10 | 623 | 630 | 104 | 827 | 779 | 285 | 935 | 861 | 484 | 1000 | 921 | 618 |
| THQ200*5-190*20-400*12 | 611 | 617 | 98 | 821 | 776 | 276 | 931 | 860 | 479 | 997 | 922 | 615 |
| THQ200*5-190*25-400*10 | 623 | 630 | 97 | 826 | 779 | 266 | 934 | 858 | 460 | 999 | 918 | 597 |
| THQ200*5-190*25-400*12 | 611 | 617 | 91 | 821 | 776 | 259 | 930 | 858 | 456 | 997 | 919 | 594 |
| THQ200*5-240*20-450*12 | 614 | 627 | 109 | 825 | 778 | 307 | 935 | 862 | 514 | 1000 | 925 | 646 |
| THQ200*5-240*25-450*12 | 614 | 628 | 100 | 824 | 777 | 282 | 933 | 859 | 485 | 999 | 921 | 623 |
| THQ200*5-240*25-450*15 | 597 | 609 | 92 | 816 | 773 | 270 | 929 | 858 | 477 | 996 | 922 | 617 |
| THQ200*5-240*30-450*15 | 597 | 609 | 85 | 816 | 772 | 252 | 928 | 856 | 452 | 995 | 918 | 596 |
| THQ200*5-290*30-500*15 | 599 | 616 | 91 | 819 | 773 | 268 | 931 | 856 | 473 | 997 | 920 | 616 |
| THQ200*5-290*30-500*20 | 570 | 583 | 79 | 805 | 763 | 248 | 924 | 854 | 457 | 992 | 920 | 605 |
| THQ200*5-290*35-500*20 | 571 | 583 | 74 | 805 | 763 | 232 | 923 | 852 | 434 | 991 | 917 | 583 |
| THQ265*6-190*20-400*10 | 616 | 624 | 85 | 820 | 771 | 221 | 928 | 849 | 398 | 995 | 907 | 534 |
| THQ265*6-190*20-400*12 | 603 | 611 | 80 | 814 | 769 | 215 | 924 | 849 | 393 | 992 | 907 | 531 |
| THQ265*6-190*25-400*10 | 616 | 624 | 79 | 820 | 771 | 205 | 927 | 848 | 376 | 994 | 905 | 514 |
| THQ265*6-190*25-400*12 | 603 | 611 | 74 | 814 | 768 | 200 | 923 | 848 | 372 | 991 | 905 | 510 |
| THQ265*6-240*20-450*12 | 607 | 622 | 92 | 818 | 771 | 246 | 928 | 850 | 437 | 995 | 910 | 576 |
| THQ265*6-240*25-450*12 | 607 | 622 | 84 | 818 | 770 | 229 | 927 | 849 | 413 | 994 | 908 | 553 |
| THQ265*6-240*25-450*15 | 590 | 603 | 77 | 810 | 766 | 219 | 922 | 848 | 404 | 991 | 908 | 547 |
| THQ265*6-240*30-450*15 | 590 | 603 | 72 | 810 | 766 | 203 | 921 | 847 | 382 | 990 | 906 | 526 |
| THQ265*6-290*30-500*15 | 593 | 612 | 79 | 813 | 767 | 224 | 925 | 847 | 411 | 992 | 908 | 555 |
| THQ265*6-290*30-500*20 | 564 | 578 | 69 | 800 | 758 | 206 | 917 | 846 | 395 | 988 | 908 | 544 |
| THQ265*6-290*35-500*20 | 564 | 579 | 64 | 800 | 757 | 195 | 917 | 845 | 375 | 987 | 906 | 523 |
| THQ320*8-190*20-400*12 | 592 | 603 | 70 | 805 | 761 | 182 | 914 | 842 | 334 | 986 | 898 | 468 |
| THQ320*8-190*25-400*12 | 592 | 603 | 65 | 805 | 761 | 172 | 913 | 841 | 316 | 985 | 897 | 449 |
| THQ320*8-190*25-400*15 | 575 | 583 | 60 | 797 | 756 | 167 | 907 | 841 | 309 | 981 | 898 | 444 |
| THQ320*8-190*30-400*12 | 592 | 603 | 61 | 805 | 761 | 164 | 913 | 841 | 300 | 985 | 896 | 432 |
| THQ320*8-240*25-450*12 | 596 | 617 | 74 | 809 | 764 | 196 | 918 | 842 | 359 | 988 | 899 | 498 |
| THQ320*8-240*25-450*15 | 579 | 597 | 68 | 801 | 760 | 189 | 912 | 842 | 352 | 984 | 900 | 493 |
| THQ320*8-240*30-450*15 | 579 | 597 | 64 | 801 | 759 | 179 | 912 | 841 | 333 | 984 | 898 | 473 |
| THQ320*8-290*30-500*15 | 581 | 607 | 70 | 804 | 761 | 196 | 916 | 841 | 365 | 986 | 900 | 508 |
| THQ320*8-290*30-500*20 | 554 | 573 | 62 | 790 | 752 | 183 | 908 | 840 | 350 | 981 | 900 | 497 |
| THQ320*8-290*35-500*20 | 555 | 574 | 58 | 790 | 752 | 174 | 907 | 839 | 331 | 981 | 898 | 477 |

Karakteristieke temperaturen: THQ (3)

| IFB (1) | C=1.0 | | | | C=0.0 | | | |
|------------------|-------|-------|-------|-------|-------|-------|-------|-------|
| | 30 | 60 | 90 | 120 | 30 | 60 | 90 | 120 |
| Doorsnede type | | | | | | | | |
| 1/2 HE220M430X15 | 75.0% | 26.9% | 15.7% | 9.9% | 84.1% | 29.1% | 16.7% | 10.4% |
| 1/2 HE240M450X20 | 85.2% | 30.4% | 17.6% | 11.6% | 93.6% | 33.1% | 18.7% | 12.2% |
| 1/2 HE260B460X12 | 65.7% | 22.2% | 13.4% | 9.8% | 74.2% | 24.1% | 14.3% | 10.3% |
| 1/2 HE260M470X20 | 83.1% | 29.6% | 17.5% | 12.1% | 92.3% | 32.1% | 18.6% | 12.7% |
| 1/2 HE280M490X20 | 81.2% | 29.1% | 17.5% | 12.5% | 91.0% | 31.5% | 18.5% | 13.1% |
| 1/2 HE280M490X25 | 93.7% | 33.3% | 18.5% | 12.8% | 98.9% | 36.5% | 19.9% | 13.5% |
| 1/2 HE300B500X15 | 77.2% | 24.2% | 14.3% | 10.5% | 86.6% | 26.4% | 15.2% | 11.1% |
| 1/2 HE300M510X25 | 87.6% | 32.3% | 18.9% | 13.5% | 96.4% | 35.2% | 20.1% | 14.1% |
| 1/2 HE320B500X15 | 74.2% | 24.1% | 14.4% | 10.7% | 83.7% | 26.2% | 15.4% | 11.3% |
| 1/2 HE320M510X25 | 87.5% | 32.6% | 19.2% | 13.7% | 96.4% | 35.6% | 20.4% | 14.4% |
| 1/2 HE320M510X30 | 94.7% | 36.7% | 20.2% | 13.9% | 99.5% | 40.5% | 21.7% | 14.7% |
| 1/2 HE340B500X15 | 72.4% | 24.2% | 14.7% | 11.1% | 81.8% | 26.2% | 15.6% | 11.7% |
| 1/2 HE340M510X25 | 87.6% | 32.9% | 19.4% | 13.9% | 96.4% | 35.8% | 20.6% | 14.5% |
| 1/2 HE340M510X30 | 94.6% | 36.9% | 20.3% | 14.0% | 99.5% | 40.6% | 21.8% | 14.8% |
| 1/2 HE360B500X15 | 72.1% | 24.8% | 15.2% | 11.5% | 81.3% | 26.8% | 16.1% | 12.0% |
| 1/2 HE360M510X25 | 88.0% | 33.1% | 19.6% | 14.1% | 96.6% | 36.0% | 20.8% | 14.7% |
| 1/2 HE360M510X30 | 94.5% | 37.0% | 20.5% | 14.2% | 99.4% | 40.7% | 21.9% | 15.0% |
| 1/2 HE400B500X20 | 90.5% | 30.2% | 17.4% | 12.7% | 96.6% | 32.9% | 18.6% | 13.4% |
| 1/2 HE400M510X25 | 88.4% | 33.7% | 20.0% | 14.5% | 96.7% | 36.6% | 21.2% | 15.2% |
| 1/2 HE400M510X30 | 94.3% | 37.5% | 20.9% | 14.6% | 99.4% | 41.2% | 22.3% | 15.4% |
| 1/2 HE450B500X20 | 87.7% | 30.2% | 17.9% | 13.3% | 94.6% | 32.8% | 19.0% | 13.9% |
| 1/2 HE450M510X25 | 88.7% | 34.6% | 20.7% | 15.2% | 96.7% | 37.4% | 21.8% | 15.8% |
| 1/2 HE450M510X30 | 94.0% | 38.2% | 21.4% | 15.1% | 99.3% | 41.8% | 22.8% | 15.9% |
| 1/2 HE500A500X20 | 91.4% | 31.2% | 18.2% | 13.7% | 97.0% | 34.0% | 19.3% | 14.3% |
| 1/2 HE500B500X20 | 86.2% | 30.7% | 18.6% | 14.0% | 93.6% | 33.2% | 19.6% | 14.6% |
| 1/2 HE500M510X25 | 89.1% | 35.5% | 21.4% | 15.8% | 96.9% | 38.3% | 22.6% | 16.5% |
| 1/2 HE500M510X30 | 93.9% | 39.0% | 22.0% | 15.7% | 99.2% | 42.6% | 23.4% | 16.4% |
| 1/2 HE550A500X20 | 89.9% | 31.9% | 18.9% | 14.3% | 95.9% | 34.6% | 20.0% | 15.0% |
| 1/2 HE550B500X20 | 85.7% | 31.5% | 19.4% | 14.9% | 93.1% | 33.9% | 20.4% | 15.4% |
| 1/2 HE550B500X25 | 94.8% | 36.1% | 20.5% | 15.1% | 99.0% | 39.3% | 21.8% | 15.8% |
| 1/2 HE550M510X25 | 89.4% | 36.5% | 22.2% | 16.6% | 97.0% | 39.3% | 23.3% | 17.2% |
| 1/2 HE550M510X30 | 93.7% | 39.8% | 22.7% | 16.4% | 99.2% | 43.3% | 24.0% | 17.1% |
| 1/2 HE550M510X30 | 93.7% | 39.8% | 22.7% | 16.4% | 99.2% | 43.3% | 24.0% | 17.1% |
| 1/2 HE600A500X20 | 88.6% | 32.3% | 19.5% | 15.1% | 94.8% | 34.9% | 20.6% | 15.7% |
| 1/2 HE600B500X20 | 85.9% | 32.9% | 20.6% | 15.9% | 93.2% | 35.3% | 21.6% | 16.4% |
| 1/2 HE600B500X25 | 93.6% | 36.8% | 21.3% | 15.8% | 98.5% | 40.0% | 22.5% | 16.5% |
| 1/2 HE600M510X30 | 93.7% | 40.8% | 23.4% | 17.1% | 99.2% | 44.4% | 24.8% | 17.8% |
| 1/2 HE600M510X35 | 97.0% | 45.8% | 24.8% | 17.5% | 99.9% | 50.2% | 26.4% | 18.3% |
| 1/2 HE650A500X20 | 88.1% | 33.4% | 20.6% | 16.0% | 94.5% | 35.9% | 21.6% | 16.5% |
| 1/2 HE650B500X25 | 92.7% | 37.4% | 21.9% | 16.5% | 98.0% | 40.5% | 23.1% | 17.2% |
| 1/2 HE650M510X25 | 90.1% | 38.6% | 23.8% | 18.1% | 97.3% | 41.4% | 25.0% | 18.7% |
| 1/2 HE650M510X30 | 93.7% | 41.7% | 24.2% | 17.8% | 99.2% | 45.2% | 25.5% | 18.5% |
| 1/2 HE650M510X35 | 96.6% | 46.4% | 25.4% | 18.0% | 99.9% | 50.8% | 27.0% | 18.9% |

Plastische weerstandsmomenten: IFB (1)

| IFB (2) | C=1.0 | | | | C=0.0 | | | |
|--------------------|-------|-------|-------|-------|-------|-------|-------|-------|
| | 30 | 60 | 90 | 120 | 30 | 60 | 90 | 120 |
| Doorsnede type | | | | | | | | |
| 1/2 IPE400-380X10 | 74.3% | 30.4% | 20.2% | 15.9% | 80.1% | 32.3% | 21.1% | 16.5% |
| 1/2 IPE400-O390X12 | 80.7% | 32.2% | 20.7% | 16.0% | 86.6% | 34.4% | 21.7% | 16.6% |
| 1/2 IPE450390X12 | 81.1% | 33.4% | 21.8% | 17.1% | 86.8% | 35.6% | 22.8% | 17.8% |
| 1/2 IPE450-O400X12 | 77.4% | 32.5% | 21.5% | 17.0% | 83.3% | 34.4% | 22.4% | 17.5% |
| 1/2 IPE500400X12 | 78.7% | 33.8% | 22.5% | 17.9% | 84.4% | 35.7% | 23.4% | 18.5% |
| 1/2 IPE500-O410X15 | 85.3% | 35.7% | 23.0% | 18.0% | 90.8% | 38.0% | 24.1% | 18.6% |
| 1/2 IPE550410X15 | 86.0% | 36.4% | 23.7% | 18.8% | 91.3% | 38.7% | 24.7% | 19.5% |
| 1/2 IPE550-O420X15 | 83.8% | 36.3% | 23.8% | 18.9% | 89.5% | 38.5% | 24.8% | 19.4% |
| 1/2 IPE600420X15 | 84.0% | 36.4% | 24.2% | 19.4% | 89.6% | 38.6% | 25.1% | 20.0% |
| 1/2 IPE600-O430X15 | 82.5% | 37.8% | 25.5% | 20.4% | 88.5% | 39.7% | 26.3% | 20.9% |
| 1/2 IPE600-O430X20 | 91.1% | 40.7% | 25.5% | 19.7% | 96.0% | 43.5% | 26.6% | 20.3% |

Plastische weerstandsmomenten: IFB (2)

| SFB | C=1.0 | | | | C=0.0 | | | |
|----------------|-------|-------|-------|-------|--------|-------|-------|-------|
| | 30 | 60 | 90 | 120 | 30 | 60 | 90 | 120 |
| Doorsnede type | | | | | | | | |
| HE140B340X10 | 92.4% | 41.7% | 23.6% | 16.4% | 95.8% | 50.8% | 28.0% | 19.1% |
| HE140M350X10 | 92.5% | 47.2% | 25.2% | 16.7% | 97.0% | 56.2% | 29.1% | 19.1% |
| HE140M350X15 | 92.5% | 53.1% | 26.9% | 17.6% | 97.5% | 63.9% | 31.7% | 20.4% |
| HE140M350X20 | 93.0% | 59.1% | 29.0% | 18.5% | 98.4% | 70.4% | 34.7% | 21.8% |
| HE160B360X10 | 93.4% | 43.1% | 24.2% | 17.2% | 96.7% | 52.4% | 28.6% | 20.0% |
| HE160M370X10 | 92.9% | 48.7% | 26.2% | 17.9% | 97.6% | 57.9% | 30.1% | 20.3% |
| HE160M370X15 | 93.3% | 54.5% | 27.9% | 18.7% | 98.0% | 65.4% | 32.8% | 21.6% |
| HE160M370X20 | 93.4% | 60.5% | 30.0% | 19.4% | 98.7% | 72.0% | 35.8% | 22.8% |
| HE160M370X25 | 93.7% | 65.7% | 32.4% | 20.3% | 99.2% | 76.8% | 39.2% | 24.2% |
| HE180B380X10 | 94.2% | 42.6% | 24.2% | 17.6% | 97.3% | 51.6% | 28.3% | 20.2% |
| HE180B380X15 | 93.9% | 50.6% | 26.6% | 18.9% | 97.8% | 62.6% | 31.9% | 22.2% |
| HE180M390X10 | 93.1% | 48.9% | 26.4% | 18.7% | 98.1% | 58.2% | 30.3% | 21.0% |
| HE180M390X15 | 93.9% | 54.8% | 28.2% | 19.4% | 98.4% | 65.9% | 33.0% | 22.3% |
| HE180M390X20 | 93.8% | 60.7% | 30.3% | 20.2% | 98.9% | 72.5% | 36.1% | 23.6% |
| HE180M390X25 | 93.9% | 66.2% | 32.7% | 21.1% | 99.3% | 77.7% | 39.5% | 24.9% |
| HE200B400X10 | 94.6% | 42.3% | 23.9% | 17.7% | 97.7% | 51.2% | 27.9% | 20.2% |
| HE200B400X15 | 94.4% | 50.1% | 26.2% | 18.9% | 98.1% | 62.1% | 31.3% | 22.1% |
| HE200M410X10 | 93.1% | 49.3% | 26.5% | 19.0% | 98.4% | 58.6% | 30.2% | 21.3% |
| HE200M410X15 | 94.4% | 55.1% | 28.4% | 19.7% | 98.7% | 66.3% | 33.1% | 22.5% |
| HE200M410X20 | 94.2% | 61.2% | 30.5% | 20.6% | 99.0% | 73.2% | 36.2% | 23.8% |
| HE200M410X25 | 94.2% | 66.6% | 32.9% | 21.5% | 99.4% | 78.5% | 39.7% | 25.2% |
| HE200M410X30 | 94.2% | 71.1% | 35.4% | 22.3% | 99.6% | 82.0% | 43.3% | 26.5% |
| HE220B420X10 | 94.8% | 42.1% | 23.8% | 17.6% | 98.1% | 50.9% | 27.6% | 20.0% |
| HE220B420X15 | 94.9% | 49.7% | 26.0% | 18.8% | 98.4% | 61.7% | 30.9% | 21.8% |
| HE220B420X20 | 94.8% | 58.0% | 28.4% | 19.9% | 98.9% | 71.3% | 34.5% | 23.5% |
| HE220M430X10 | 93.1% | 49.7% | 26.6% | 19.1% | 98.7% | 59.0% | 30.3% | 21.4% |
| HE220M430X15 | 94.8% | 55.5% | 28.4% | 19.9% | 98.9% | 66.8% | 33.1% | 22.6% |
| HE220M430X20 | 94.6% | 61.6% | 30.6% | 20.7% | 99.2% | 73.8% | 36.3% | 23.9% |
| HE220M430X25 | 94.4% | 67.0% | 33.1% | 21.6% | 99.5% | 79.3% | 39.8% | 25.2% |
| HE220M430X30 | 94.3% | 71.6% | 35.7% | 22.5% | 99.7% | 82.9% | 43.6% | 26.6% |
| HE240B440X10 | 95.1% | 43.8% | 24.2% | 18.0% | 98.5% | 53.0% | 28.1% | 20.4% |
| HE240B440X15 | 95.3% | 51.0% | 26.3% | 19.0% | 98.7% | 63.3% | 31.3% | 22.0% |
| HE240B440X20 | 95.2% | 59.1% | 28.8% | 20.0% | 99.1% | 72.9% | 35.0% | 23.7% |
| HE240M450X10 | 92.4% | 54.2% | 28.4% | 19.9% | 99.1% | 64.2% | 32.4% | 22.2% |
| HE240M450X15 | 94.7% | 59.6% | 30.4% | 20.7% | 99.2% | 71.2% | 35.3% | 23.4% |
| HE240M450X20 | 94.9% | 64.9% | 32.6% | 21.4% | 99.4% | 77.2% | 38.5% | 24.6% |
| HE240M450X25 | 94.6% | 69.9% | 34.9% | 22.2% | 99.6% | 82.1% | 41.8% | 25.8% |
| HE240M450X30 | 94.3% | 73.8% | 37.5% | 23.2% | 99.8% | 85.2% | 45.6% | 27.2% |
| HE240M450X35 | 94.1% | 77.1% | 40.1% | 24.1% | 99.9% | 86.4% | 49.3% | 28.6% |
| HE240M450X40 | 93.9% | 79.0% | 42.9% | 25.2% | 100.0% | 86.2% | 53.3% | 30.2% |

Plastische weerstandsmomenten: SFB

| THQ (1) | C=1.0 | | | | C=0.0 | | | |
|------------------------|-------|-------|-------|------|-------|-------|-------|------|
| | 30 | 60 | 90 | 120 | 30 | 60 | 90 | 120 |
| Doorsnede type | | | | | | | | |
| THQ150*5-190*12-400*8 | 47.3% | 18.3% | 8.5% | 5.2% | 58.4% | 22.3% | 10.6% | 6.7% |
| THQ150*5-190*15-400*10 | 48.3% | 18.6% | 8.7% | 5.3% | 60.8% | 23.0% | 11.0% | 6.8% |
| THQ150*5-190*15-400*8 | 42.3% | 17.3% | 8.1% | 4.9% | 52.1% | 20.9% | 10.0% | 6.2% |
| THQ150*5-190*20-400*10 | 41.6% | 17.2% | 8.4% | 4.9% | 52.0% | 20.8% | 10.4% | 6.3% |
| THQ150*5-190*20-400*12 | 46.9% | 18.2% | 8.9% | 5.2% | 59.8% | 22.4% | 11.2% | 6.7% |
| THQ150*5-190*20-400*8 | 38.7% | 17.1% | 8.4% | 4.9% | 47.4% | 20.3% | 10.2% | 6.1% |
| THQ150*5-190*25-400*10 | 39.5% | 17.6% | 9.3% | 5.2% | 49.0% | 21.0% | 11.2% | 6.4% |
| THQ150*5-190*25-400*12 | 42.3% | 17.6% | 9.2% | 5.2% | 53.5% | 21.3% | 11.3% | 6.5% |
| THQ150*5-190*25-400*15 | 50.4% | 19.1% | 9.9% | 5.6% | 65.0% | 23.7% | 12.3% | 7.2% |
| THQ150*5-190*25-400*8 | 39.0% | 18.6% | 9.8% | 5.5% | 47.3% | 21.8% | 11.6% | 6.7% |
| THQ150*5-190*30-400*12 | 41.1% | 18.3% | 10.4% | 5.7% | 51.6% | 21.8% | 12.3% | 7.0% |
| THQ150*5-190*30-400*15 | 45.7% | 18.4% | 10.3% | 5.7% | 58.6% | 22.4% | 12.5% | 7.1% |
| THQ150*5-190*35-400*15 | 44.3% | 19.0% | 11.5% | 6.3% | 56.3% | 22.8% | 13.6% | 7.6% |
| THQ150*5-190*35-400*20 | 55.9% | 20.6% | 12.0% | 6.6% | 73.2% | 25.5% | 14.6% | 8.2% |
| THQ150*5-190*40-400*20 | 52.1% | 20.3% | 12.7% | 7.0% | 67.6% | 24.7% | 15.0% | 8.5% |
| THQ150*5-240*12-450*8 | 40.9% | 15.7% | 7.3% | 4.5% | 51.7% | 19.8% | 9.5% | 6.0% |
| THQ150*5-240*15-450*10 | 41.6% | 16.1% | 7.5% | 4.5% | 53.4% | 20.4% | 9.8% | 6.1% |
| THQ150*5-240*15-450*8 | 37.0% | 15.2% | 7.0% | 4.3% | 46.6% | 18.8% | 9.0% | 5.6% |
| THQ150*5-240*20-450*10 | 36.8% | 15.7% | 7.5% | 4.4% | 47.0% | 19.4% | 9.6% | 5.8% |
| THQ150*5-240*20-450*12 | 40.6% | 16.2% | 7.8% | 4.6% | 52.7% | 20.5% | 10.1% | 6.1% |
| THQ150*5-240*25-450*12 | 37.9% | 16.4% | 8.4% | 4.7% | 48.8% | 20.2% | 10.6% | 6.1% |
| THQ150*5-240*25-450*15 | 43.5% | 17.1% | 8.8% | 4.9% | 57.4% | 21.6% | 11.2% | 6.5% |
| THQ150*5-240*30-450*15 | 41.0% | 17.2% | 9.6% | 5.2% | 53.6% | 21.3% | 11.9% | 6.7% |
| THQ150*5-240*35-450*20 | 48.7% | 18.7% | 11.1% | 6.0% | 64.9% | 23.5% | 13.6% | 7.6% |
| THQ150*5-240*40-450*20 | 47.1% | 19.3% | 12.3% | 6.7% | 62.3% | 23.8% | 14.8% | 8.2% |
| THQ150*5-290*12-500*8 | 36.7% | 14.0% | 6.5% | 4.0% | 47.4% | 18.1% | 8.7% | 5.5% |
| THQ150*5-290*15-500*10 | 37.2% | 14.5% | 6.7% | 4.1% | 48.8% | 18.8% | 9.0% | 5.6% |
| THQ150*5-290*15-500*8 | 33.8% | 13.9% | 6.4% | 3.9% | 43.3% | 17.6% | 8.4% | 5.2% |
| THQ150*5-290*20-500*10 | 34.1% | 14.8% | 7.0% | 4.1% | 44.2% | 18.6% | 9.1% | 5.5% |
| THQ150*5-290*20-500*12 | 36.7% | 14.9% | 7.1% | 4.2% | 48.6% | 19.2% | 9.4% | 5.7% |
| THQ150*5-290*25-500*12 | 35.7% | 15.8% | 8.0% | 4.5% | 46.7% | 19.8% | 10.2% | 6.0% |
| THQ150*5-290*25-500*15 | 39.3% | 15.9% | 8.1% | 4.5% | 52.7% | 20.4% | 10.5% | 6.1% |
| THQ150*5-290*30-500*15 | 38.5% | 16.7% | 9.3% | 5.0% | 51.1% | 21.0% | 11.7% | 6.6% |
| THQ150*5-290*30-500*20 | 47.9% | 17.8% | 9.8% | 5.3% | 65.5% | 23.1% | 12.6% | 7.1% |
| THQ150*5-290*35-500*20 | 44.7% | 17.8% | 10.7% | 5.7% | 60.6% | 22.7% | 13.3% | 7.3% |
| THQ150*5-290*40-500*25 | 52.9% | 19.6% | 12.3% | 6.6% | 72.9% | 25.2% | 15.1% | 8.4% |

Plastische weerstandsmomenten: THQ (1)

| THQ (2) | C=1.0 | | | | C=0.0 | | | |
|------------------------|-------|-------|-------|------|-------|-------|-------|------|
| | 30 | 60 | 90 | 120 | 30 | 60 | 90 | 120 |
| Doorsnede type | | | | | | | | |
| THQ180*5-190*12-400*8 | 49.7% | 20.9% | 10.0% | 6.0% | 60.1% | 24.9% | 12.2% | 7.5% |
| THQ180*5-190*15-400*10 | 50.1% | 20.6% | 10.1% | 6.0% | 62.3% | 24.9% | 12.5% | 7.5% |
| THQ180*5-190*15-400*8 | 44.7% | 19.5% | 9.6% | 5.7% | 54.4% | 23.1% | 11.6% | 7.0% |
| THQ180*5-190*20-400*10 | 43.5% | 18.8% | 9.9% | 5.6% | 53.9% | 22.5% | 12.0% | 7.0% |
| THQ180*5-190*20-400*12 | 48.5% | 19.7% | 10.2% | 5.9% | 61.2% | 24.0% | 12.6% | 7.4% |
| THQ180*5-190*20-400*8 | 40.6% | 18.8% | 9.9% | 5.7% | 49.2% | 22.1% | 11.7% | 6.9% |
| THQ180*5-190*25-400*10 | 40.9% | 18.7% | 10.5% | 5.9% | 50.4% | 22.1% | 12.5% | 7.2% |
| THQ180*5-190*25-400*12 | 43.7% | 18.7% | 10.5% | 5.9% | 54.9% | 22.5% | 12.6% | 7.3% |
| THQ180*5-190*25-400*15 | 51.3% | 20.1% | 11.0% | 6.2% | 65.8% | 24.6% | 13.5% | 7.8% |
| THQ180*5-190*30-400*12 | 42.0% | 18.9% | 11.4% | 6.4% | 52.4% | 22.5% | 13.4% | 7.7% |
| THQ180*5-190*30-400*15 | 46.8% | 19.1% | 11.2% | 6.4% | 59.8% | 23.1% | 13.5% | 7.8% |
| THQ180*5-190*35-400*15 | 44.8% | 19.2% | 12.1% | 7.0% | 56.9% | 23.0% | 14.2% | 8.4% |
| THQ180*5-190*35-400*20 | 56.1% | 20.8% | 12.4% | 7.3% | 73.4% | 25.6% | 15.0% | 9.0% |
| THQ180*5-190*40-400*20 | 52.3% | 20.2% | 12.8% | 7.8% | 68.0% | 24.6% | 15.1% | 9.4% |
| THQ180*5-240*12-450*8 | 43.1% | 17.8% | 8.4% | 5.1% | 53.8% | 21.9% | 10.6% | 6.6% |
| THQ180*5-240*15-450*10 | 43.3% | 17.7% | 8.5% | 5.1% | 55.1% | 22.1% | 10.9% | 6.7% |
| THQ180*5-240*15-450*8 | 39.2% | 17.0% | 8.1% | 4.9% | 48.8% | 20.7% | 10.2% | 6.2% |
| THQ180*5-240*20-450*10 | 38.4% | 16.9% | 8.6% | 4.9% | 48.6% | 20.7% | 10.7% | 6.4% |
| THQ180*5-240*20-450*12 | 42.0% | 17.3% | 8.8% | 5.1% | 54.1% | 21.6% | 11.2% | 6.7% |
| THQ180*5-240*25-450*12 | 38.9% | 17.0% | 9.4% | 5.2% | 49.9% | 20.9% | 11.6% | 6.7% |
| THQ180*5-240*25-450*15 | 44.5% | 17.7% | 9.6% | 5.4% | 58.3% | 22.3% | 12.1% | 7.0% |
| THQ180*5-240*30-450*15 | 41.7% | 17.6% | 10.3% | 5.7% | 54.3% | 21.7% | 12.6% | 7.3% |
| THQ180*5-240*35-450*15 | 41.7% | 18.5% | 11.8% | 6.6% | 53.8% | 22.6% | 14.0% | 8.1% |
| THQ180*5-240*35-450*20 | 49.2% | 18.7% | 11.4% | 6.5% | 65.6% | 23.5% | 14.0% | 8.2% |
| THQ180*5-240*40-450*20 | 47.3% | 18.9% | 12.3% | 7.2% | 62.7% | 23.5% | 14.7% | 8.8% |
| THQ180*5-240*40-450*25 | 58.5% | 20.7% | 12.7% | 7.6% | 79.4% | 26.3% | 15.6% | 9.5% |
| THQ180*5-290*12-500*8 | 38.7% | 15.6% | 7.3% | 4.5% | 49.3% | 19.8% | 9.6% | 6.0% |
| THQ180*5-290*15-500*10 | 38.8% | 15.9% | 7.5% | 4.5% | 50.4% | 20.2% | 9.9% | 6.1% |
| THQ180*5-290*15-500*8 | 35.5% | 15.2% | 7.2% | 4.3% | 45.1% | 19.0% | 9.3% | 5.8% |
| THQ180*5-290*20-500*10 | 35.2% | 15.6% | 7.8% | 4.5% | 45.4% | 19.5% | 10.0% | 5.9% |
| THQ180*5-290*20-500*12 | 37.8% | 15.8% | 7.9% | 4.6% | 49.8% | 20.1% | 10.3% | 6.1% |
| THQ180*5-290*25-500*12 | 36.2% | 16.2% | 8.7% | 4.9% | 47.2% | 20.3% | 11.0% | 6.4% |
| THQ180*5-290*25-500*15 | 40.1% | 16.3% | 8.7% | 4.9% | 53.6% | 20.9% | 11.3% | 6.5% |
| THQ180*5-290*30-500*15 | 38.8% | 16.8% | 9.8% | 5.4% | 51.4% | 21.2% | 12.3% | 7.0% |
| THQ180*5-290*30-500*20 | 48.1% | 17.9% | 10.1% | 5.6% | 65.8% | 23.2% | 13.0% | 7.5% |
| THQ180*5-290*35-500*20 | 44.8% | 17.6% | 10.8% | 6.0% | 60.9% | 22.5% | 13.5% | 7.7% |
| THQ180*5-290*40-500*20 | 44.6% | 18.5% | 12.2% | 7.0% | 60.1% | 23.2% | 14.8% | 8.6% |
| THQ180*5-290*40-500*25 | 52.9% | 19.1% | 12.0% | 7.0% | 73.1% | 24.8% | 14.9% | 8.9% |

Plastische weerstandsmomenten: THQ (2)

| THQ (3) | C=1.0 | | | | C=0.0 | | | |
|------------------------|-------|-------|-------|-------|-------|-------|-------|-------|
| | 30 | 60 | 90 | 120 | 30 | 60 | 90 | 120 |
| Doorsnede type | | | | | | | | |
| THQ200*5-190*20-400*10 | 44.7% | 20.0% | 10.9% | 6.2% | 55.0% | 23.7% | 13.0% | 7.6% |
| THQ200*5-190*20-400*12 | 49.5% | 20.8% | 11.2% | 6.4% | 62.1% | 25.1% | 13.6% | 8.0% |
| THQ200*5-190*25-400*10 | 41.8% | 19.6% | 11.4% | 6.5% | 51.3% | 23.0% | 13.4% | 7.8% |
| THQ200*5-190*25-400*12 | 44.7% | 19.5% | 11.2% | 6.5% | 55.9% | 23.3% | 13.4% | 7.9% |
| THQ200*5-240*20-450*12 | 43.1% | 18.2% | 9.5% | 5.4% | 55.3% | 22.5% | 11.9% | 7.0% |
| THQ200*5-240*25-450*12 | 39.8% | 17.7% | 10.0% | 5.6% | 50.7% | 21.6% | 12.3% | 7.1% |
| THQ200*5-240*25-450*15 | 45.2% | 18.3% | 10.2% | 5.8% | 59.0% | 22.9% | 12.8% | 7.4% |
| THQ200*5-240*30-450*15 | 42.2% | 17.9% | 10.8% | 6.1% | 54.8% | 22.1% | 13.1% | 7.7% |
| THQ200*5-290*30-500*15 | 39.2% | 17.0% | 10.2% | 5.6% | 51.8% | 21.3% | 12.6% | 7.2% |
| THQ200*5-290*30-500*20 | 48.5% | 18.1% | 10.4% | 5.9% | 66.2% | 23.5% | 13.4% | 7.8% |
| THQ200*5-290*35-500*20 | 45.1% | 17.7% | 10.9% | 6.3% | 61.2% | 22.6% | 13.6% | 8.0% |
| THQ265*6-190*20-400*10 | 52.7% | 26.3% | 15.5% | 9.2% | 62.4% | 29.9% | 17.6% | 10.7% |
| THQ265*6-190*20-400*12 | 56.6% | 26.5% | 15.5% | 9.2% | 67.5% | 30.7% | 17.9% | 10.9% |
| THQ265*6-190*25-400*10 | 48.9% | 24.9% | 15.4% | 9.4% | 58.1% | 28.3% | 17.3% | 10.8% |
| THQ265*6-190*25-400*12 | 51.8% | 24.7% | 15.0% | 9.3% | 62.9% | 28.5% | 17.2% | 10.8% |
| THQ265*6-240*20-450*12 | 49.7% | 23.0% | 13.0% | 7.5% | 61.6% | 27.3% | 15.5% | 9.2% |
| THQ265*6-240*25-450*12 | 45.7% | 21.8% | 13.0% | 7.7% | 56.6% | 25.7% | 15.2% | 9.2% |
| THQ265*6-240*25-450*15 | 50.8% | 22.2% | 13.0% | 7.7% | 64.6% | 26.7% | 15.6% | 9.4% |
| THQ265*6-240*30-450*15 | 47.3% | 21.2% | 13.0% | 8.0% | 60.0% | 25.4% | 15.4% | 9.6% |
| THQ265*6-290*30-500*15 | 43.1% | 19.5% | 11.9% | 7.1% | 55.6% | 23.9% | 14.4% | 8.7% |
| THQ265*6-290*30-500*20 | 52.3% | 20.5% | 12.0% | 7.2% | 70.1% | 25.9% | 15.0% | 9.2% |
| THQ265*6-290*35-500*20 | 48.8% | 19.7% | 12.1% | 7.6% | 65.1% | 24.7% | 14.9% | 9.4% |
| THQ320*8-190*20-400*12 | 63.6% | 34.8% | 21.7% | 13.5% | 72.4% | 38.6% | 24.0% | 15.1% |
| THQ320*8-190*25-400*12 | 61.2% | 32.3% | 20.8% | 13.3% | 70.3% | 36.0% | 22.9% | 14.8% |
| THQ320*8-190*25-400*15 | 65.2% | 32.4% | 20.5% | 13.1% | 75.7% | 36.7% | 22.9% | 14.7% |
| THQ320*8-190*30-400*12 | 58.6% | 30.8% | 20.3% | 13.4% | 68.1% | 34.1% | 22.3% | 14.8% |
| THQ320*8-240*25-450*12 | 54.8% | 28.4% | 17.6% | 10.8% | 65.0% | 32.2% | 19.8% | 12.3% |
| THQ320*8-240*25-450*15 | 59.3% | 28.3% | 17.3% | 10.6% | 71.0% | 32.8% | 19.8% | 12.3% |
| THQ320*8-240*30-450*15 | 55.6% | 26.9% | 17.0% | 10.8% | 67.9% | 31.0% | 19.3% | 12.4% |
| THQ320*8-240*30-450*15 | 55.6% | 26.9% | 17.0% | 10.8% | 67.9% | 31.0% | 19.3% | 12.4% |
| THQ320*8-290*30-500*15 | 50.4% | 24.4% | 15.1% | 9.3% | 62.6% | 28.7% | 17.6% | 10.9% |
| THQ320*8-290*30-500*20 | 59.0% | 25.1% | 15.0% | 9.3% | 75.4% | 30.4% | 18.0% | 11.2% |
| THQ320*8-290*35-500*20 | 55.1% | 23.9% | 14.9% | 9.6% | 71.2% | 28.9% | 17.6% | 11.4% |

Plastische weerstandsmomenten: THQ (3)